

FIG. 1

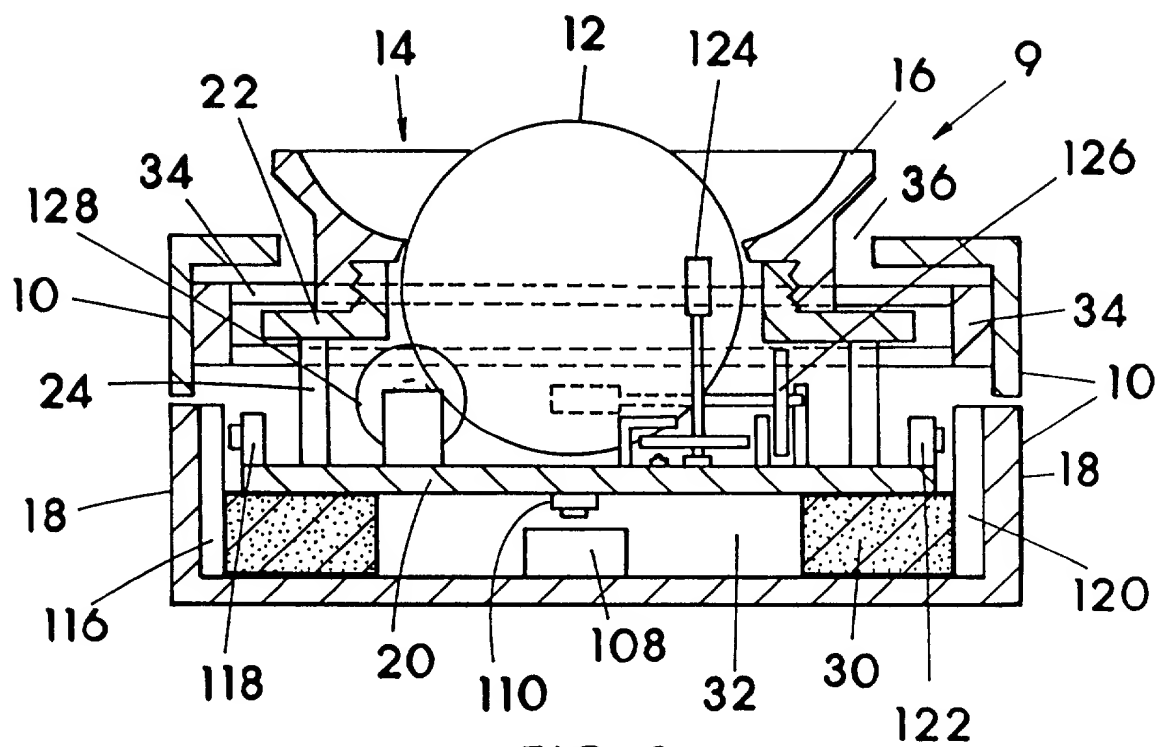


FIG. 3

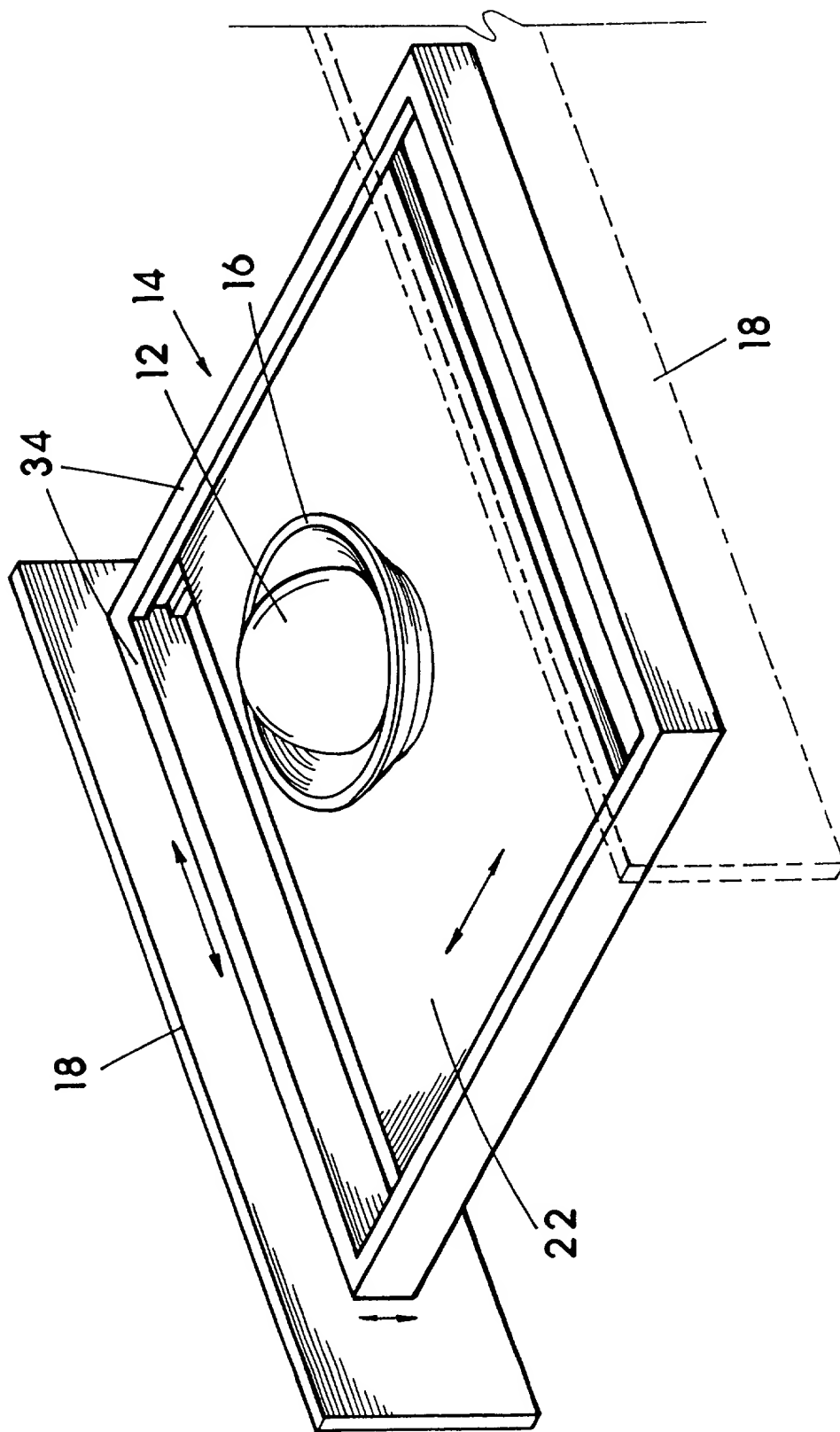


FIG. 4

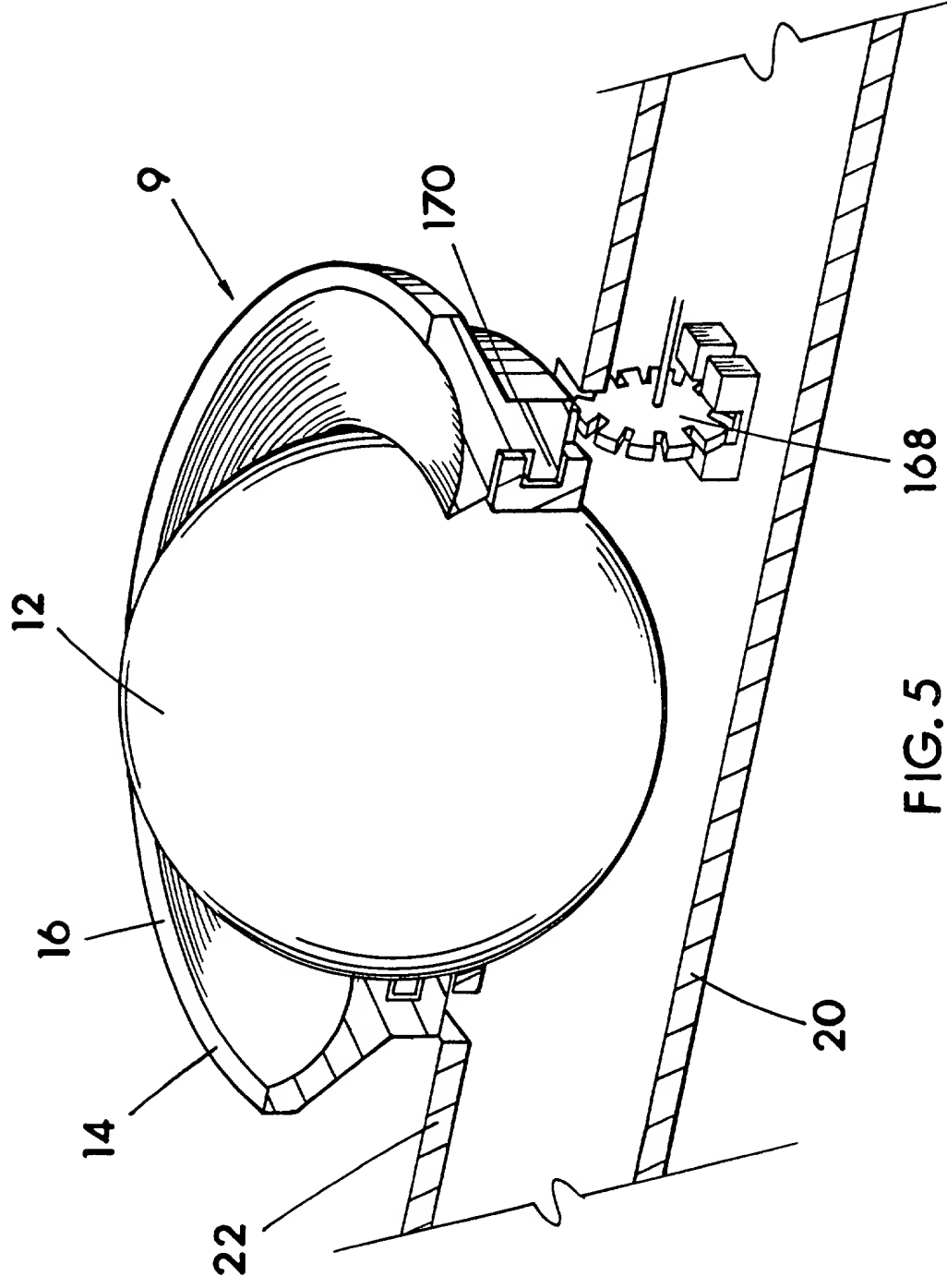
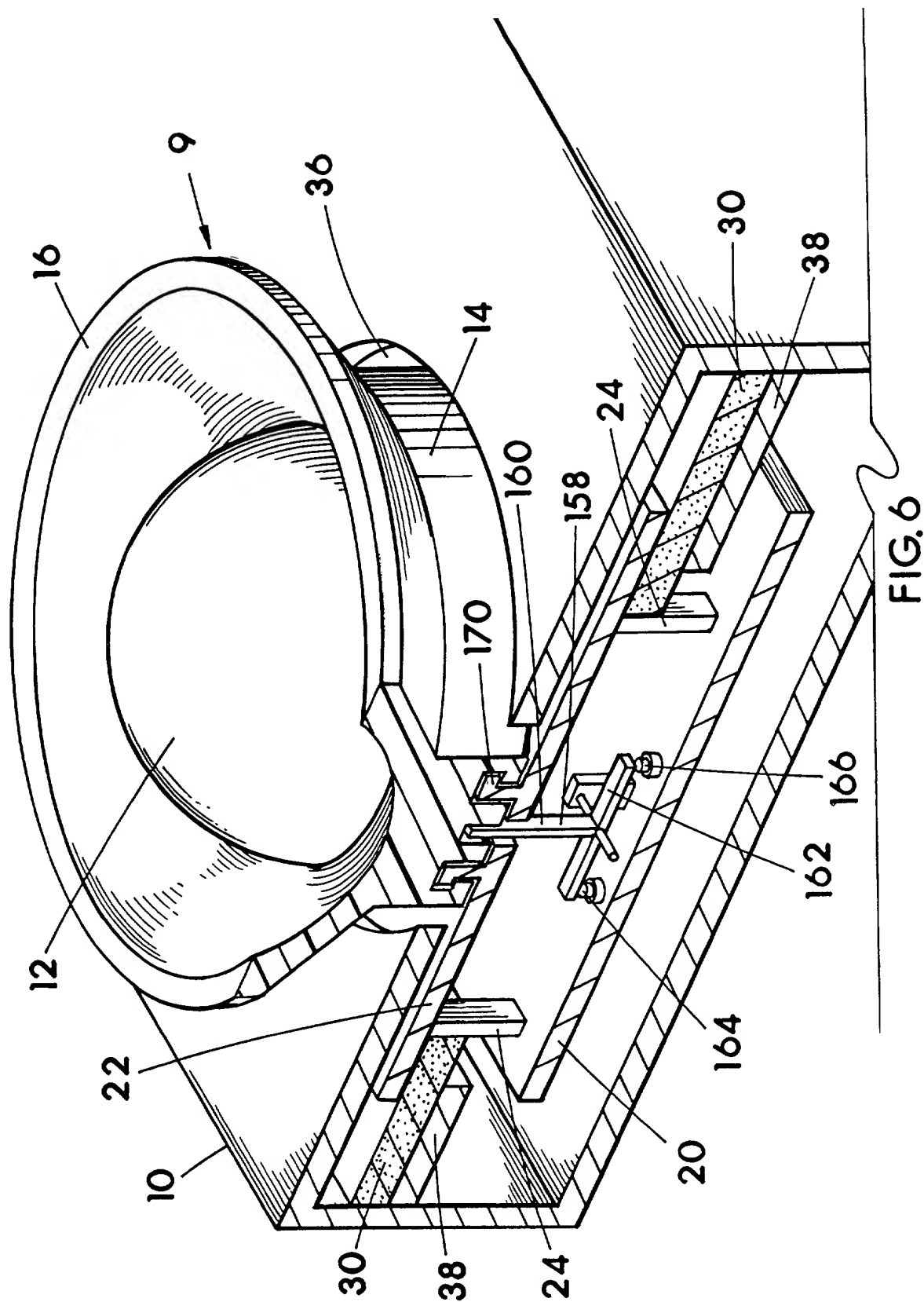


FIG. 5



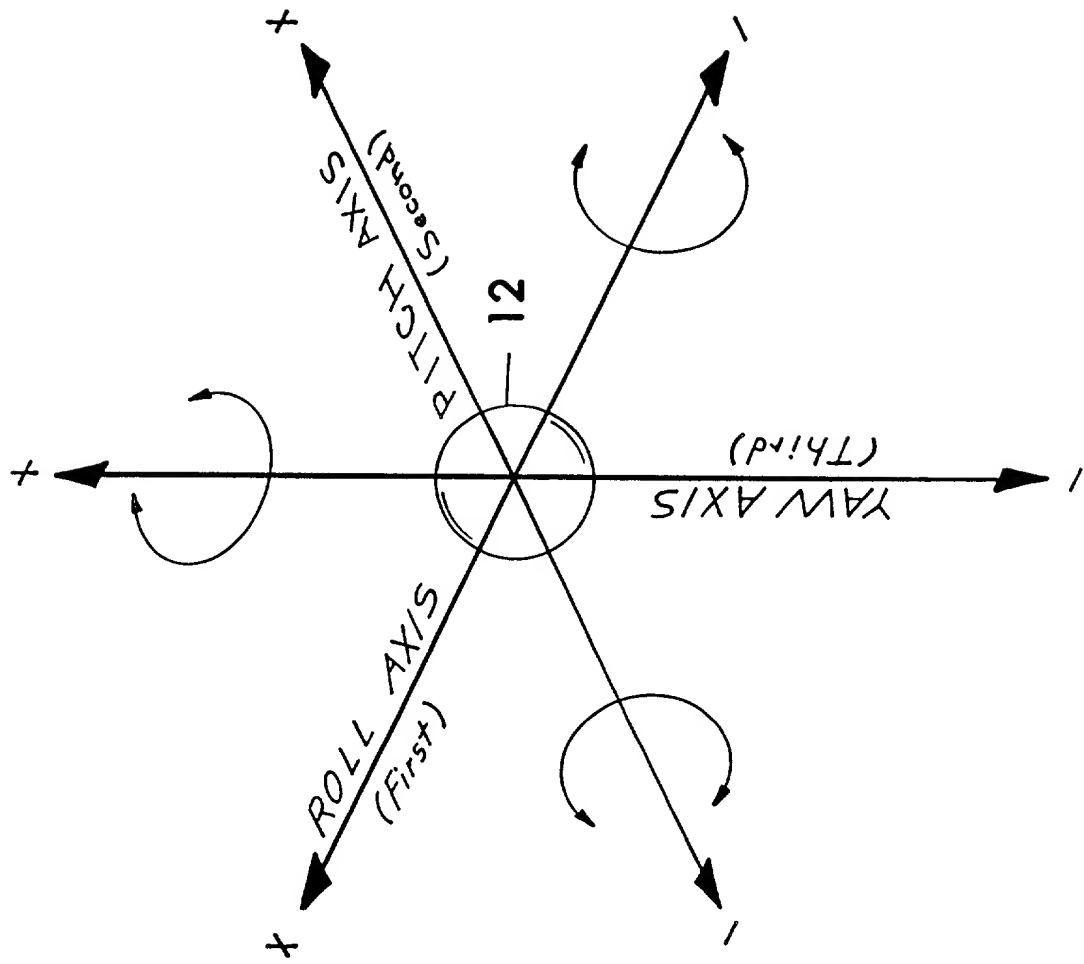


FIG. 7

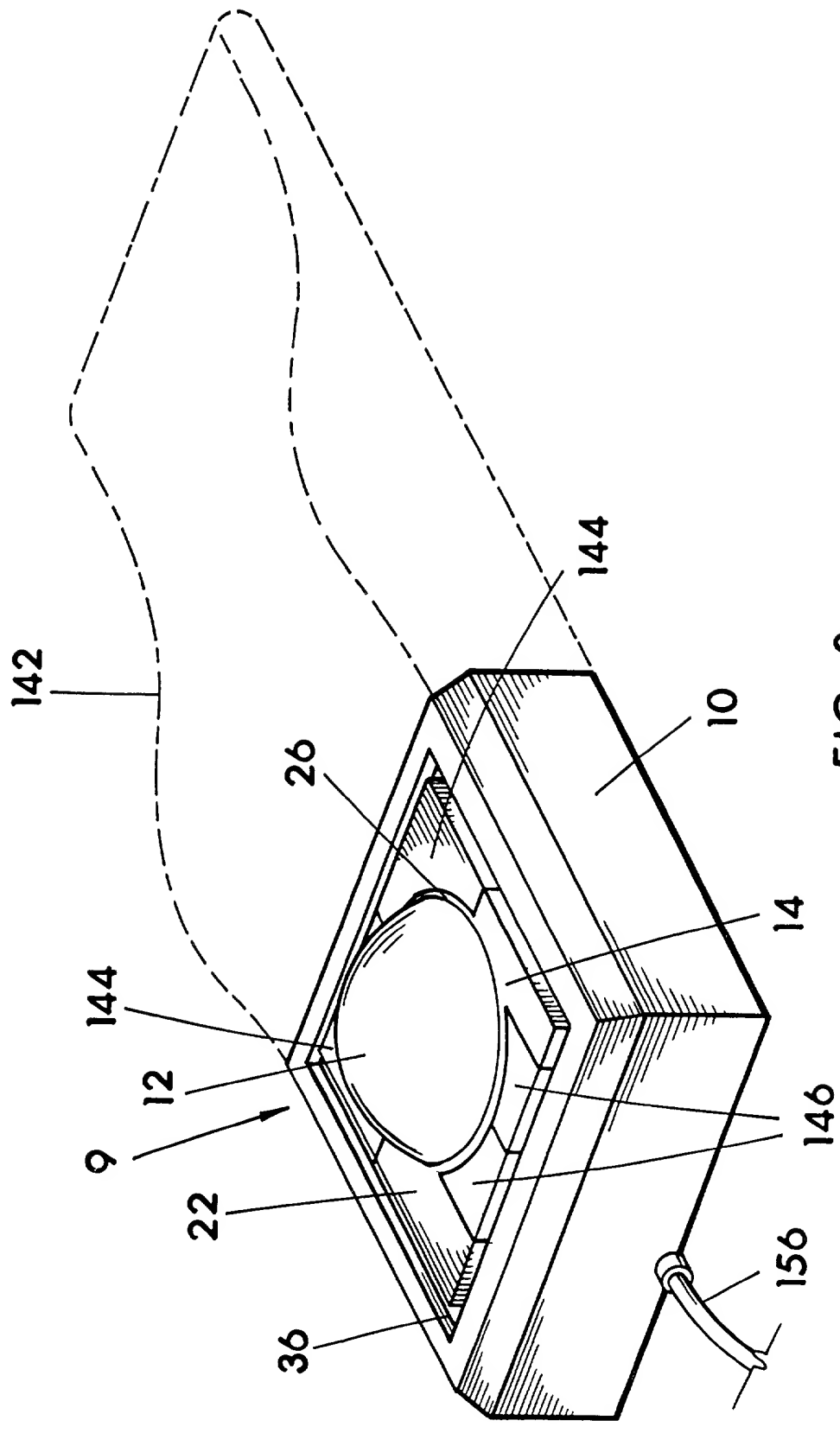


FIG. 8

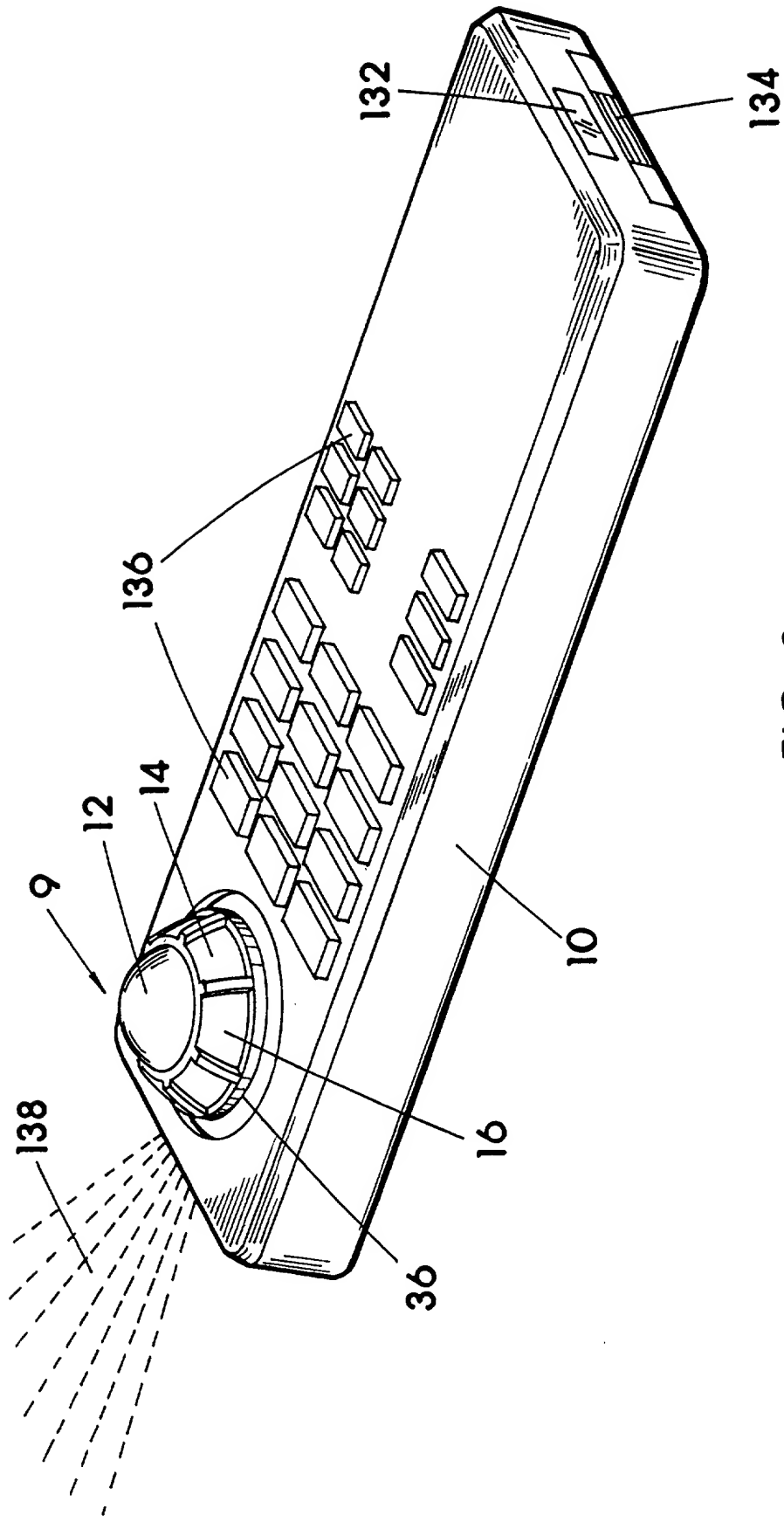


FIG. 9



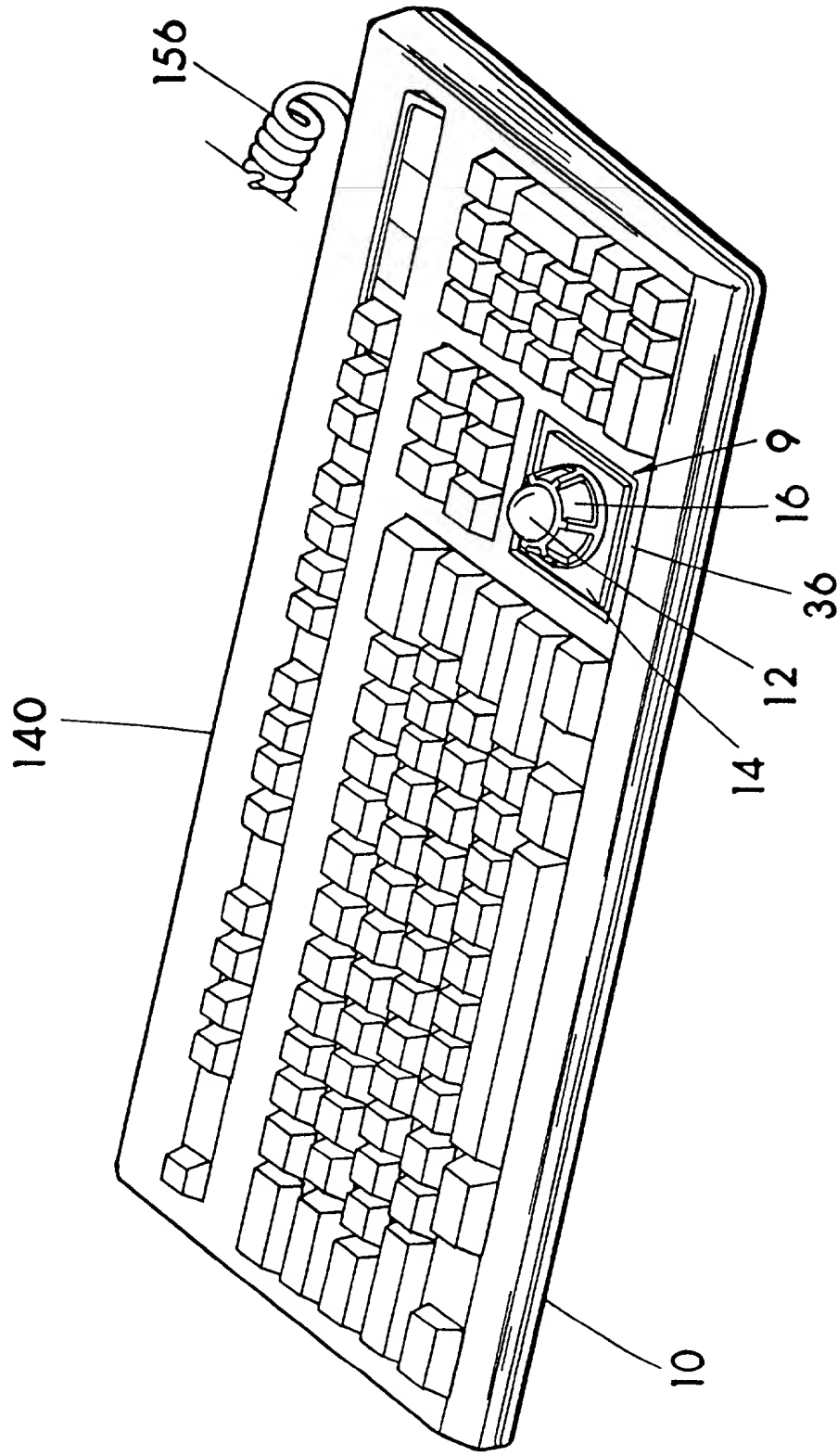


FIG. 10

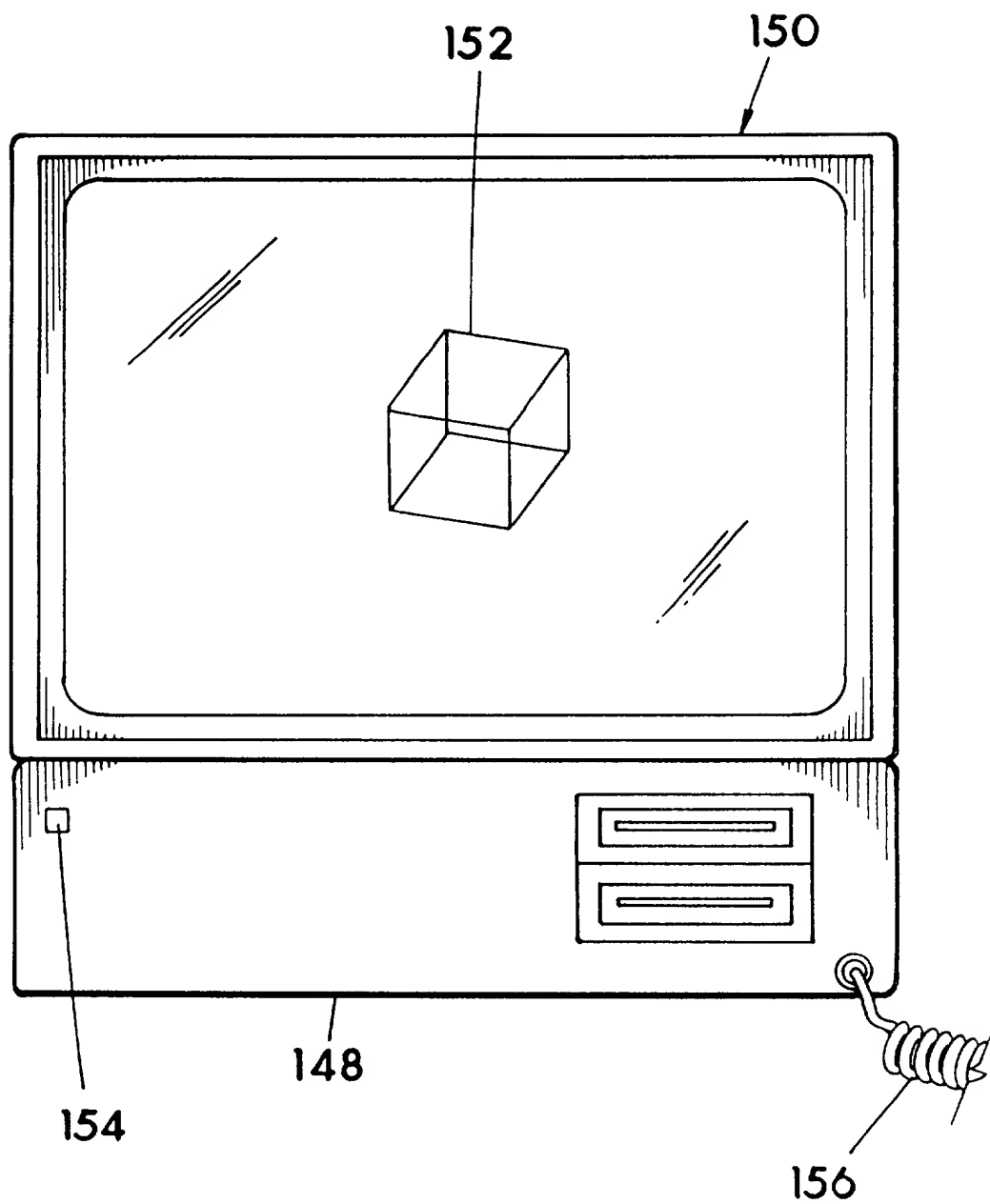


FIG. 11

FIG. 12

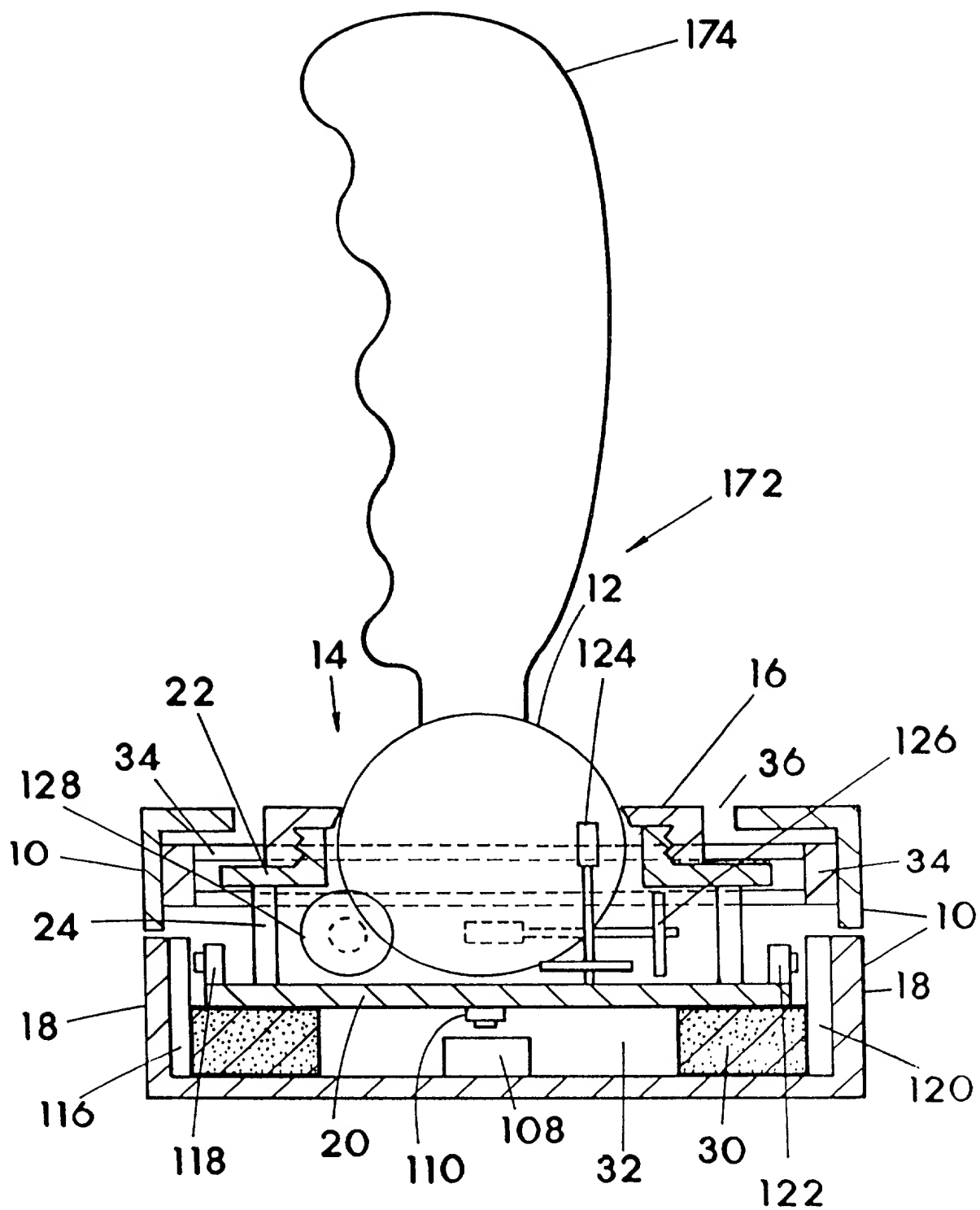


FIG. 12

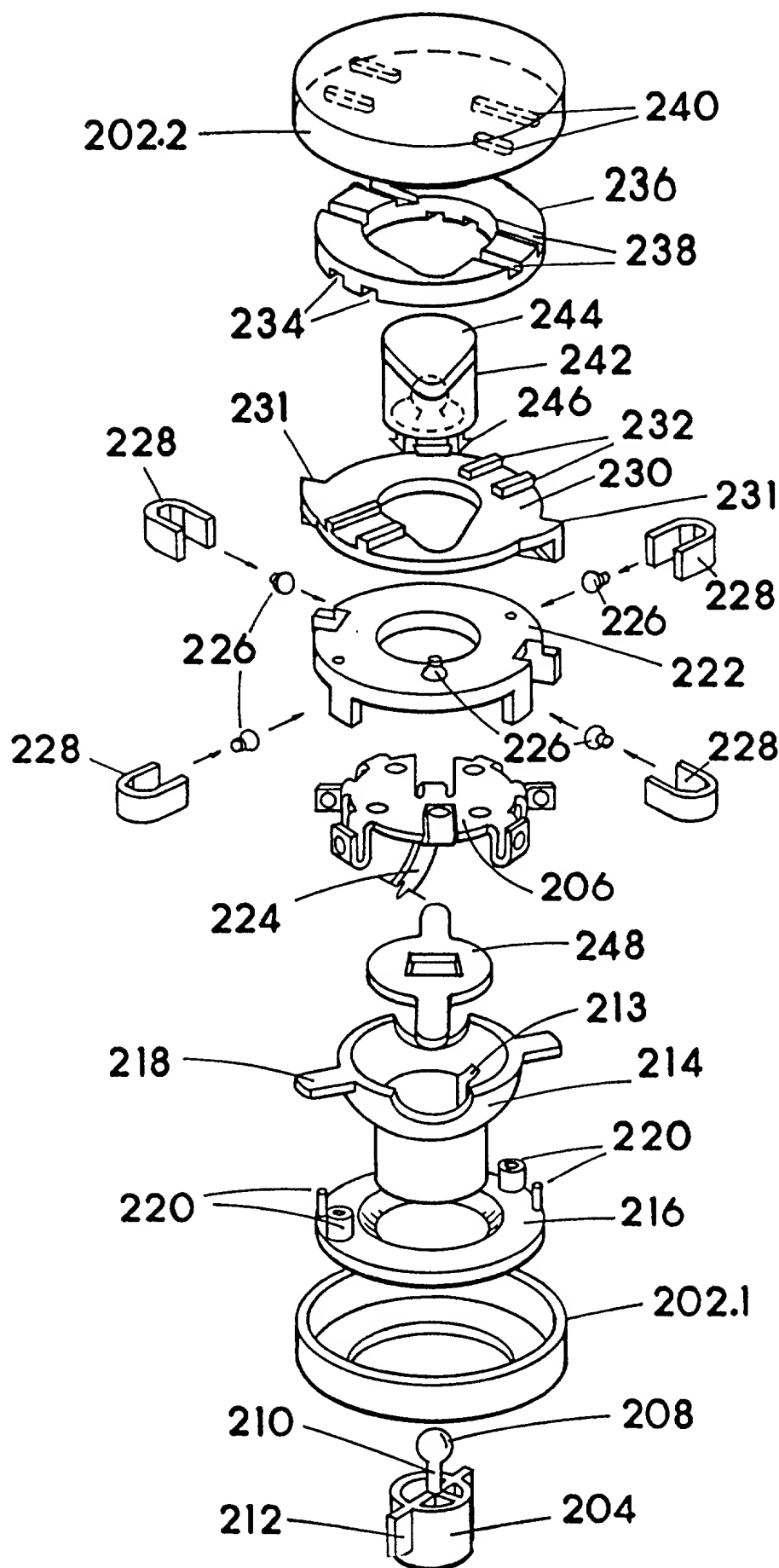


FIG. 13

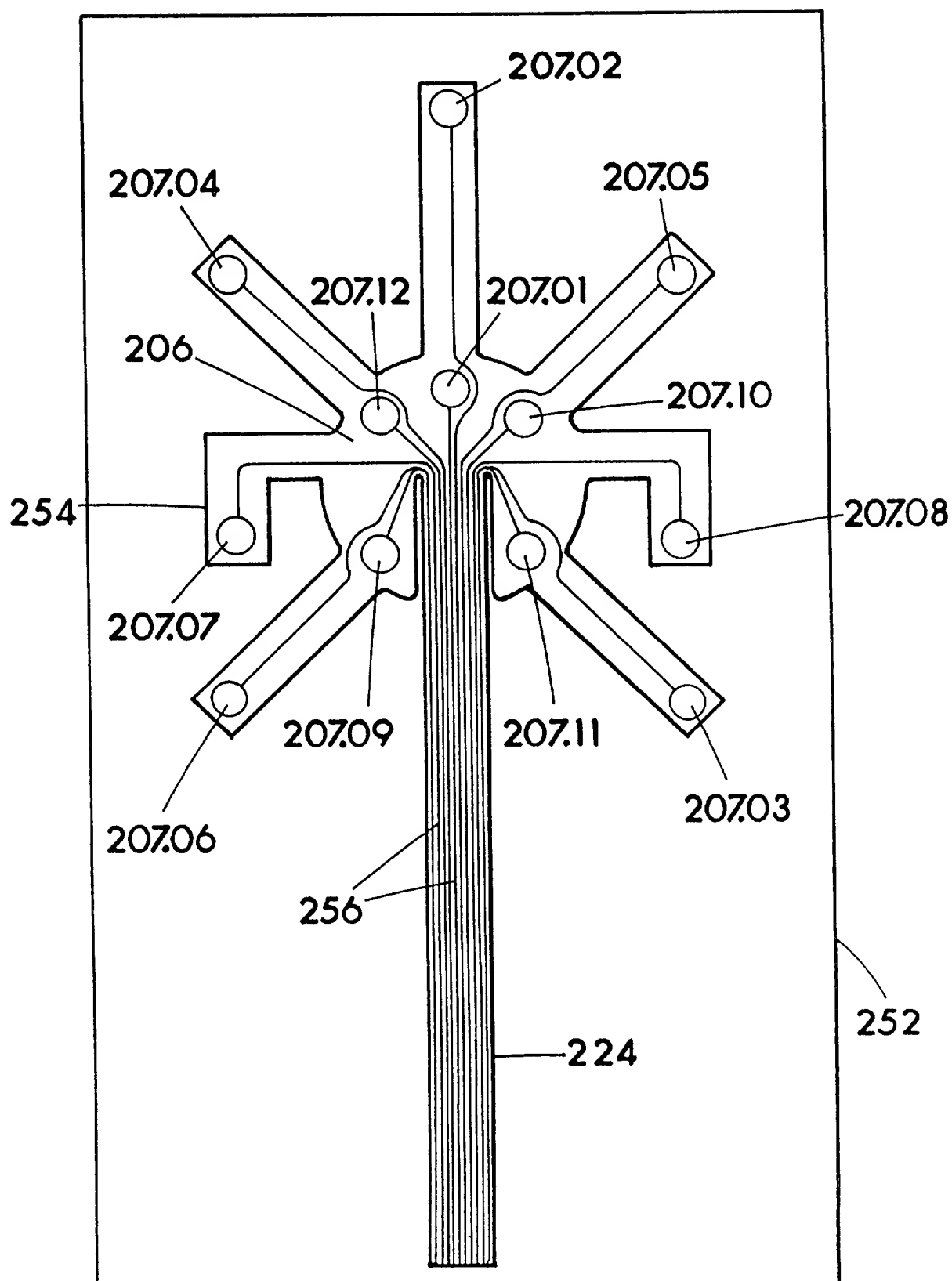


FIG. 14

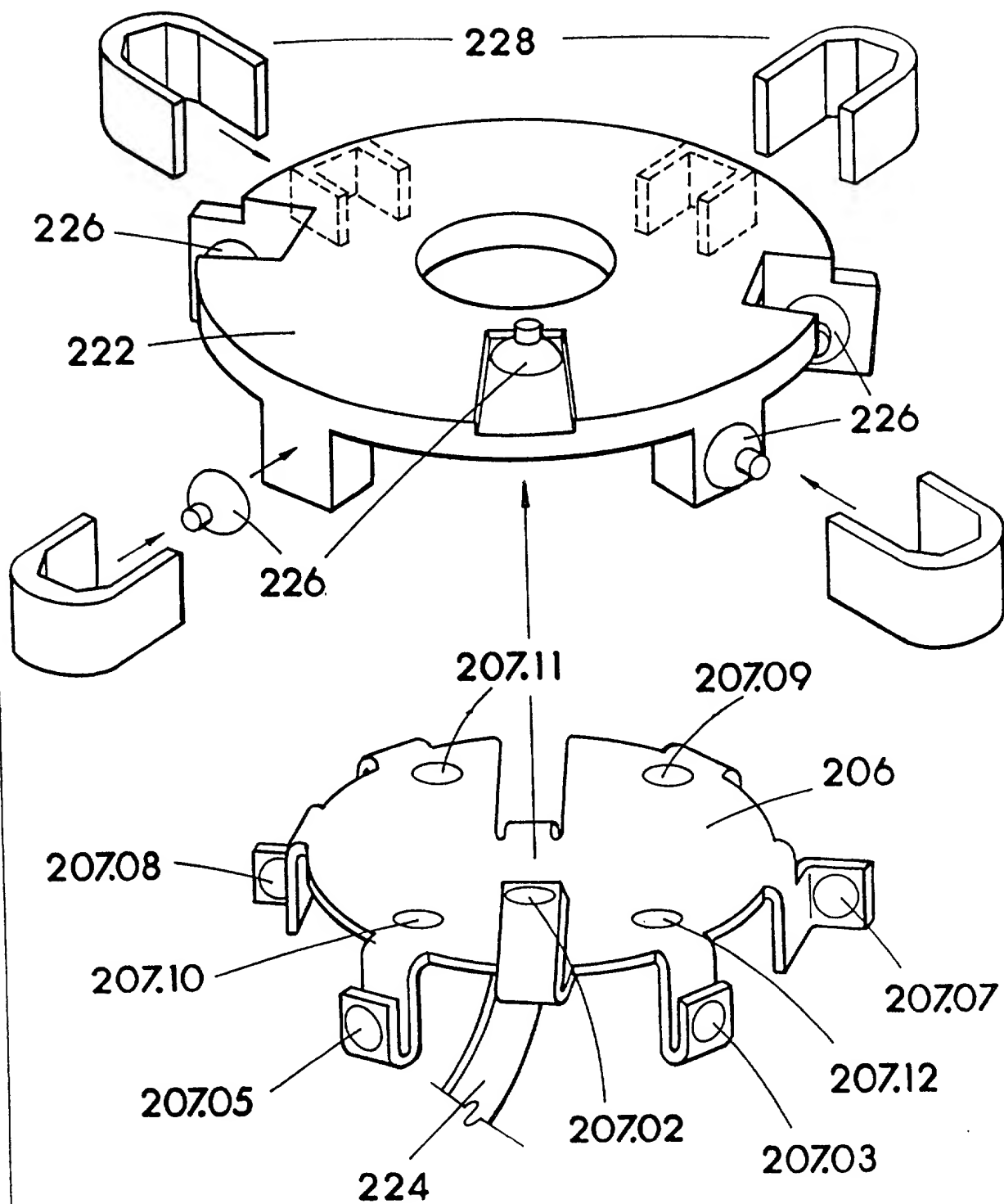


FIG. 15

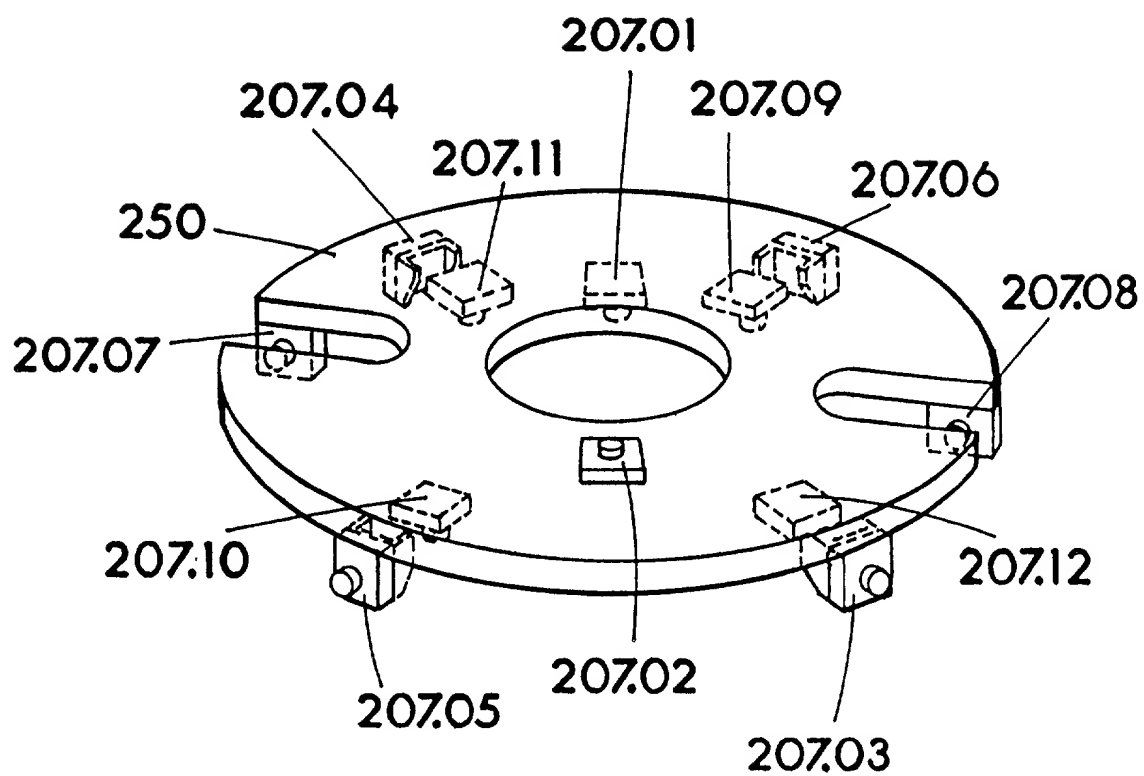


FIG. 16

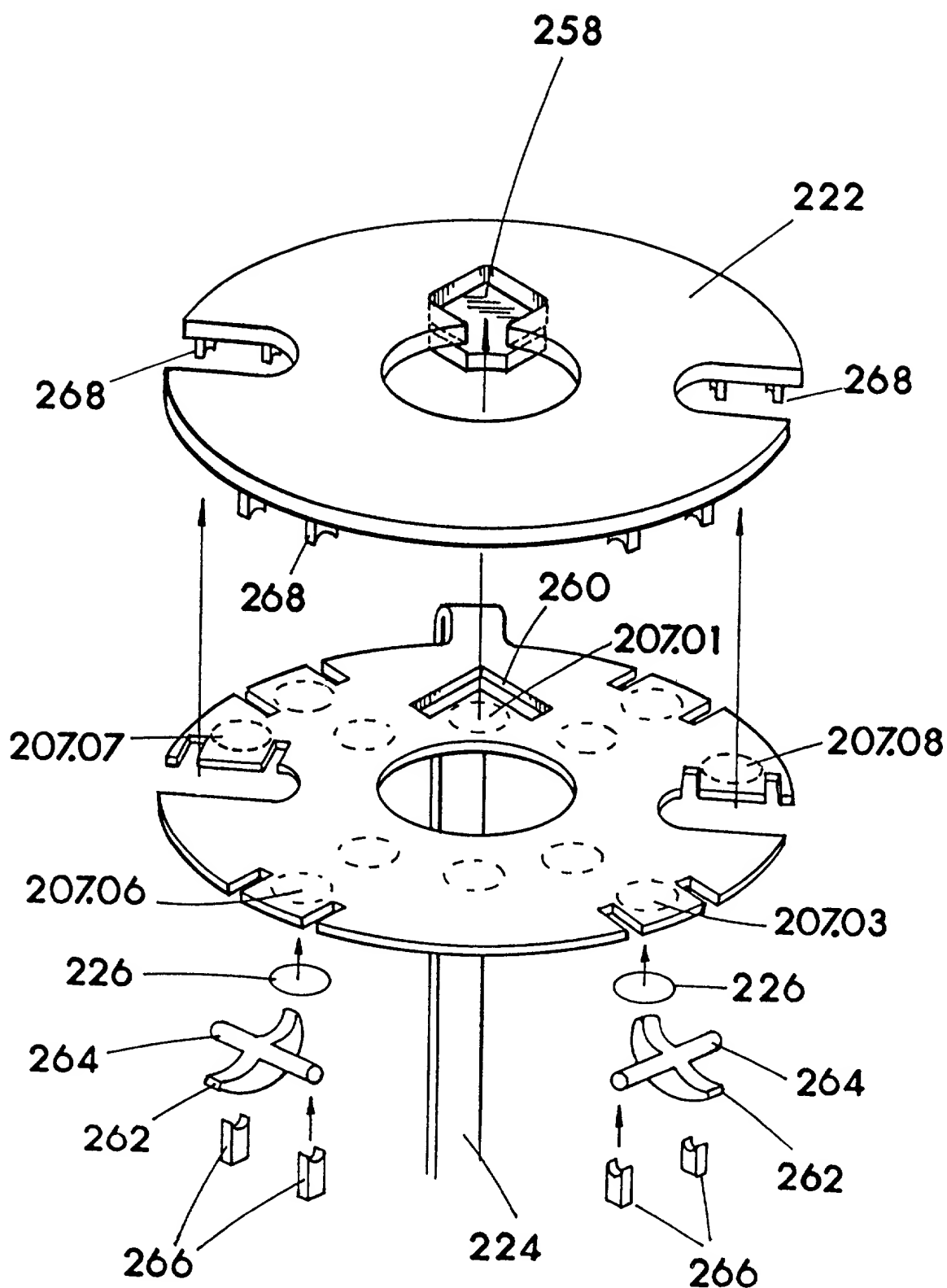


FIG. 17



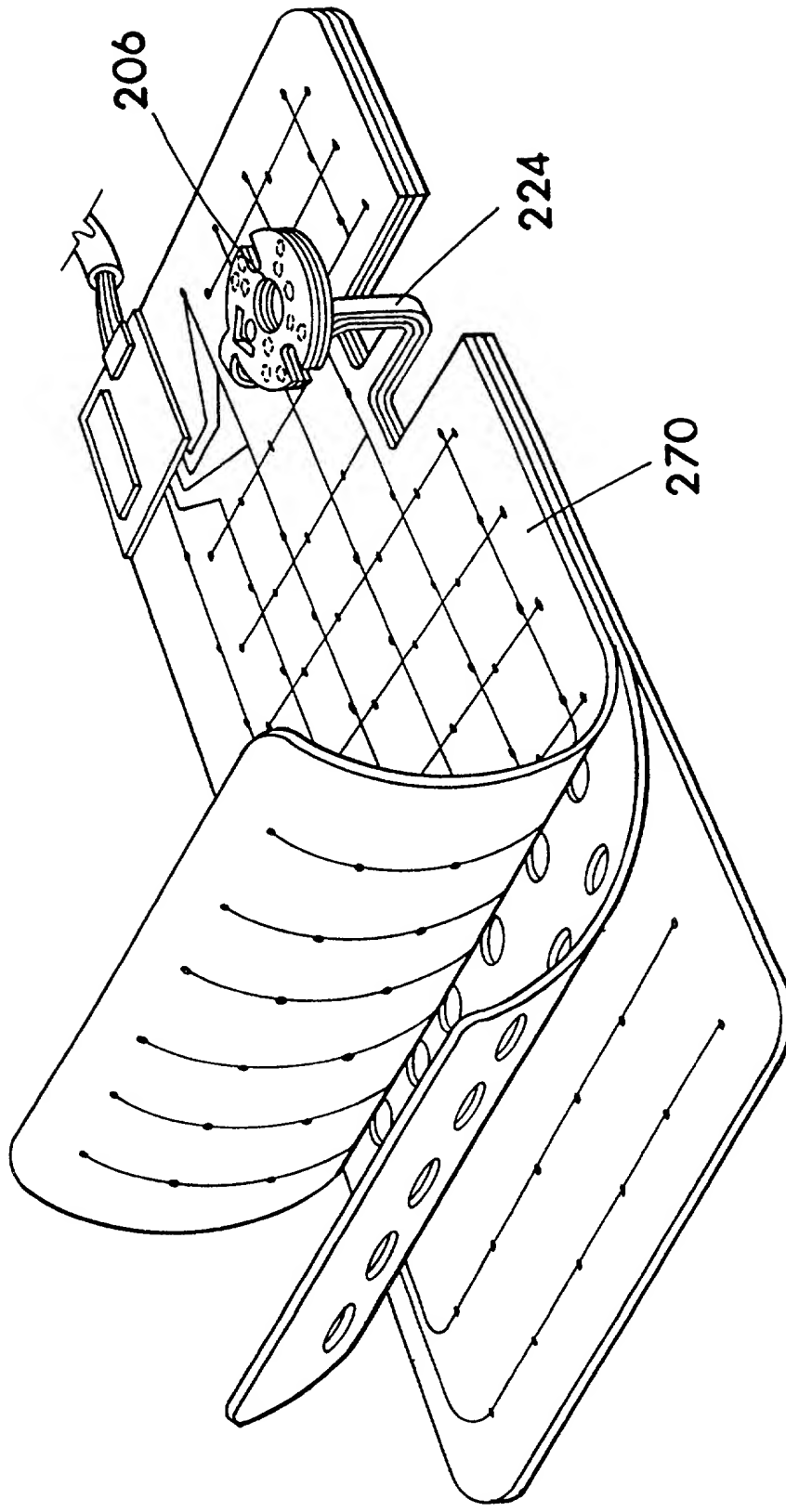


FIG. 18

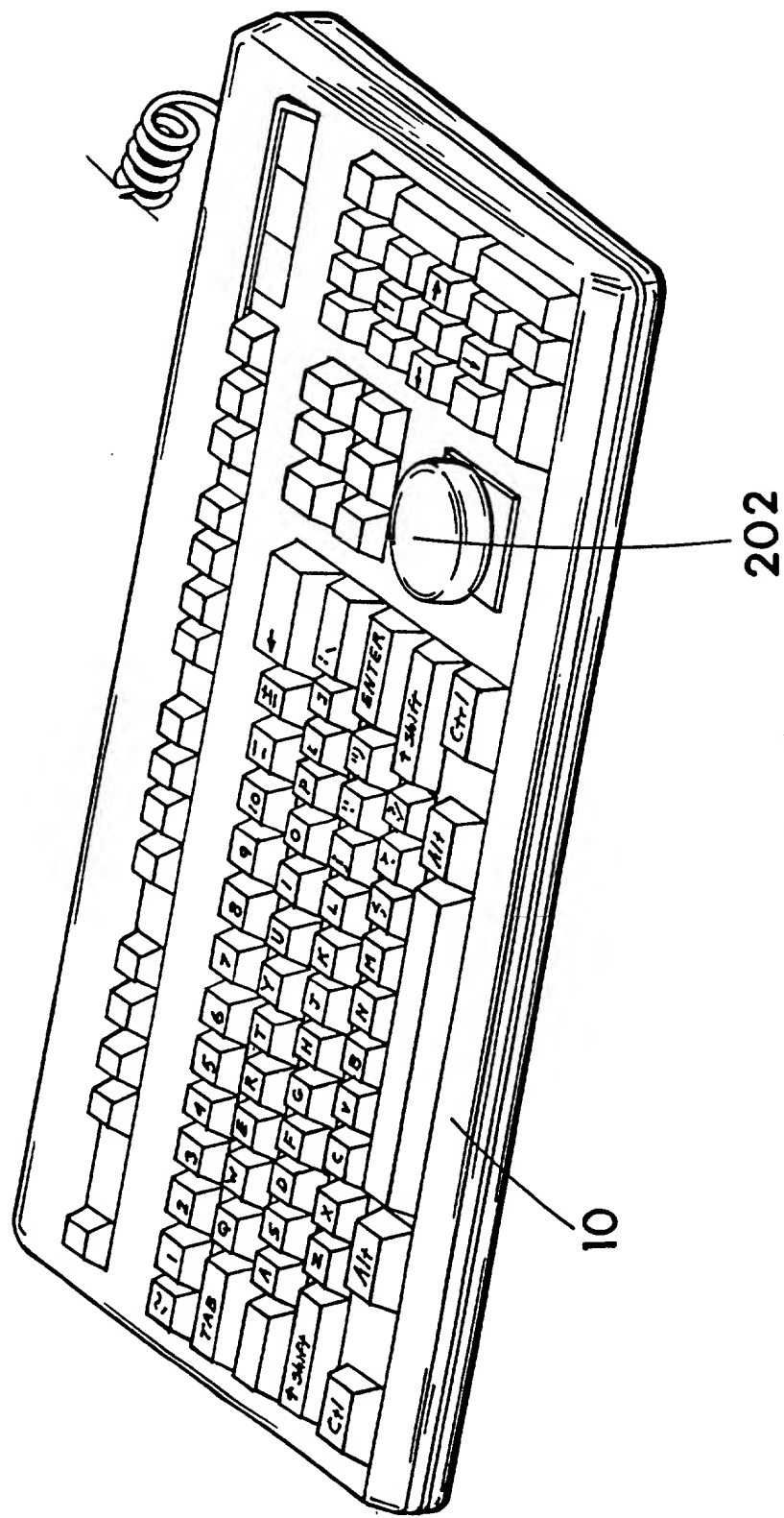


FIG. 19

FIG. 20

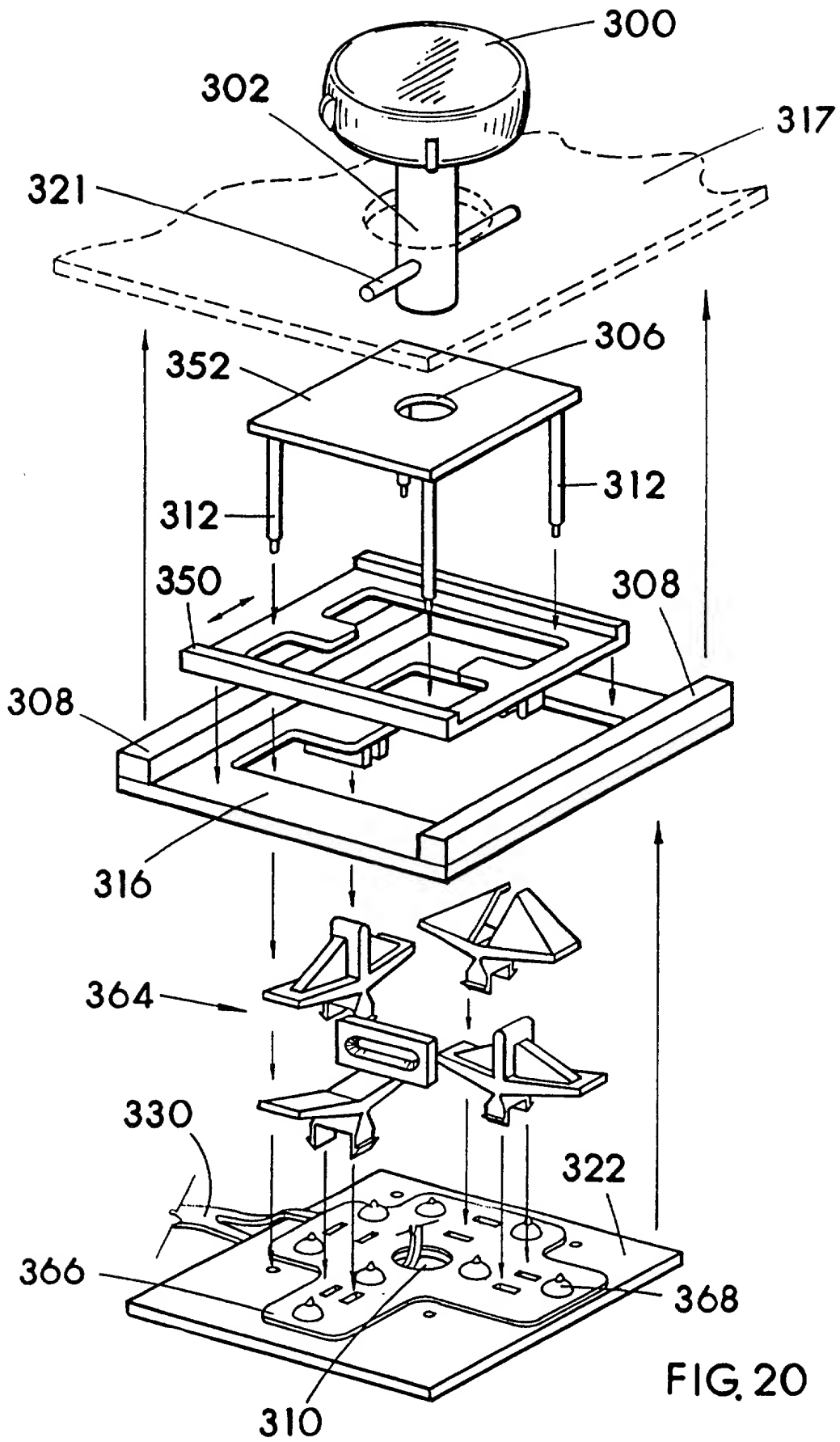


FIG. 20



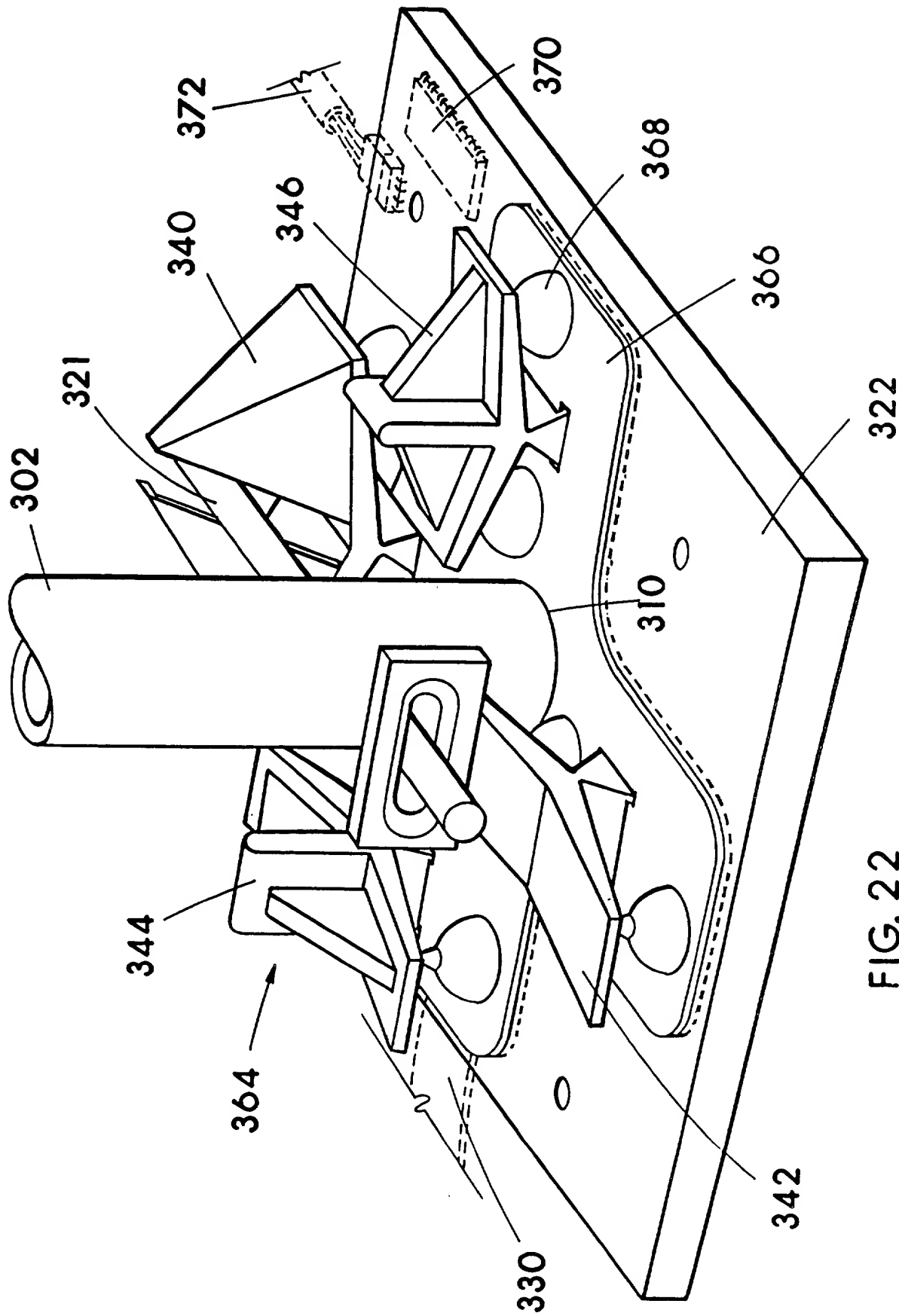
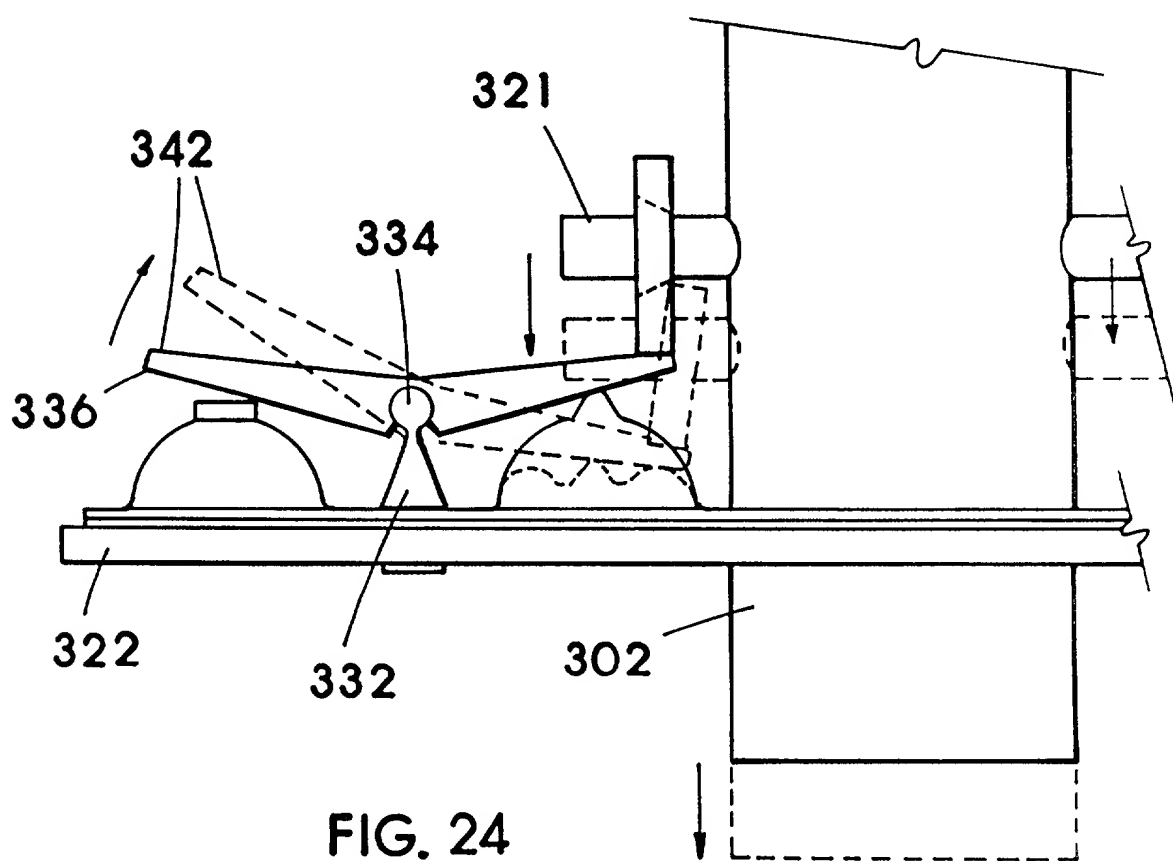
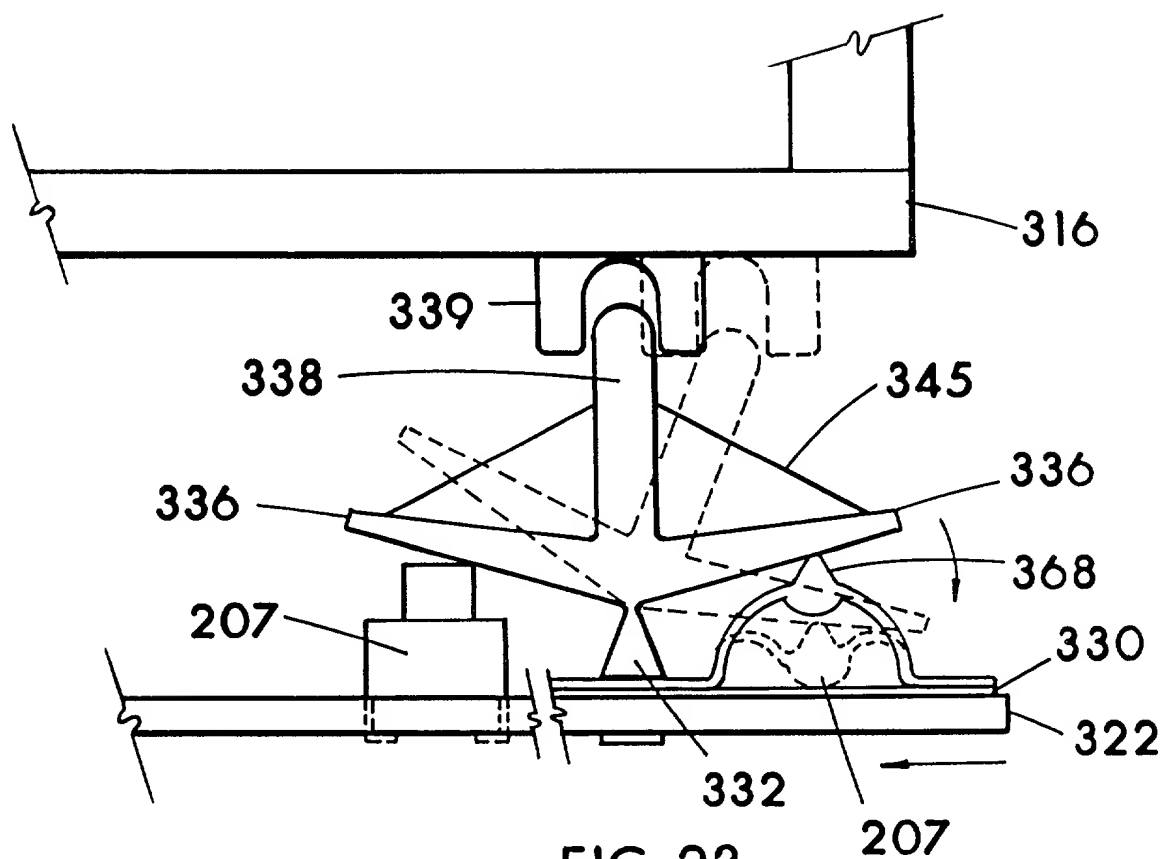


FIG. 22



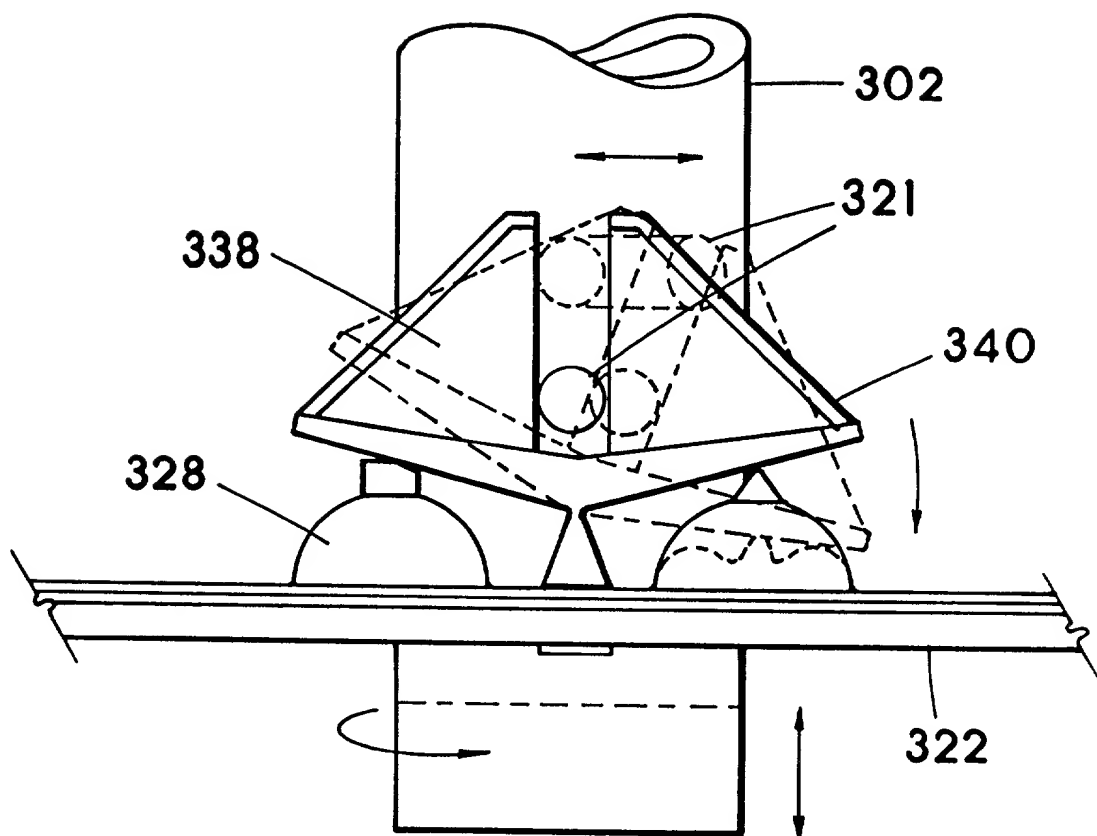


FIG. 25

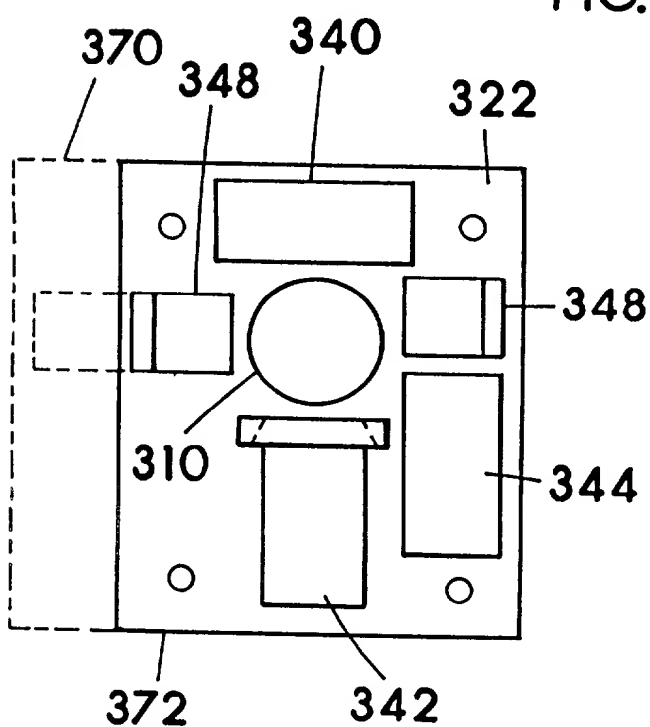


FIG. 26

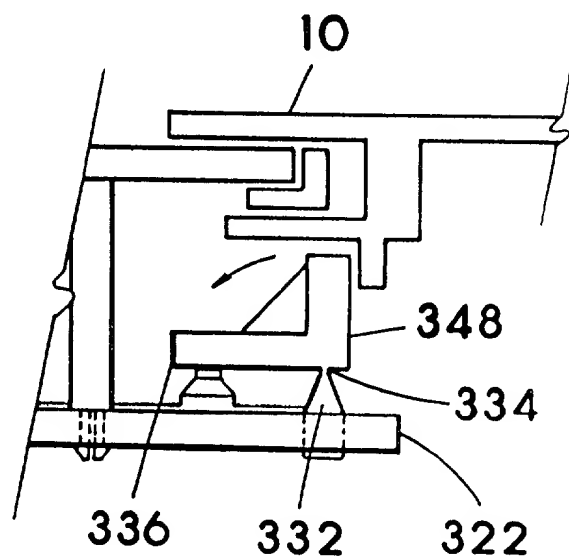


FIG. 27

THESE RESEARCH



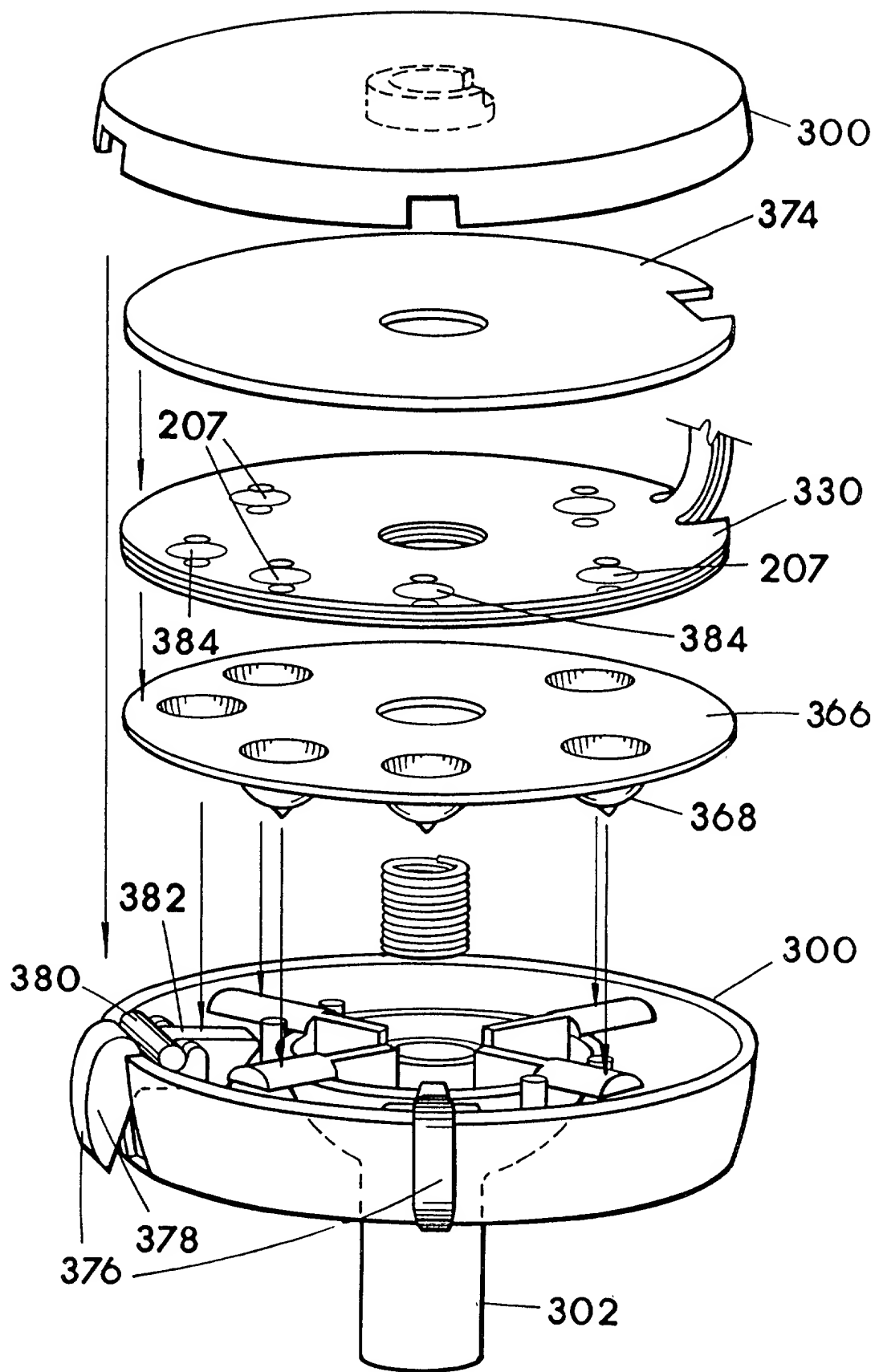


FIG. 28

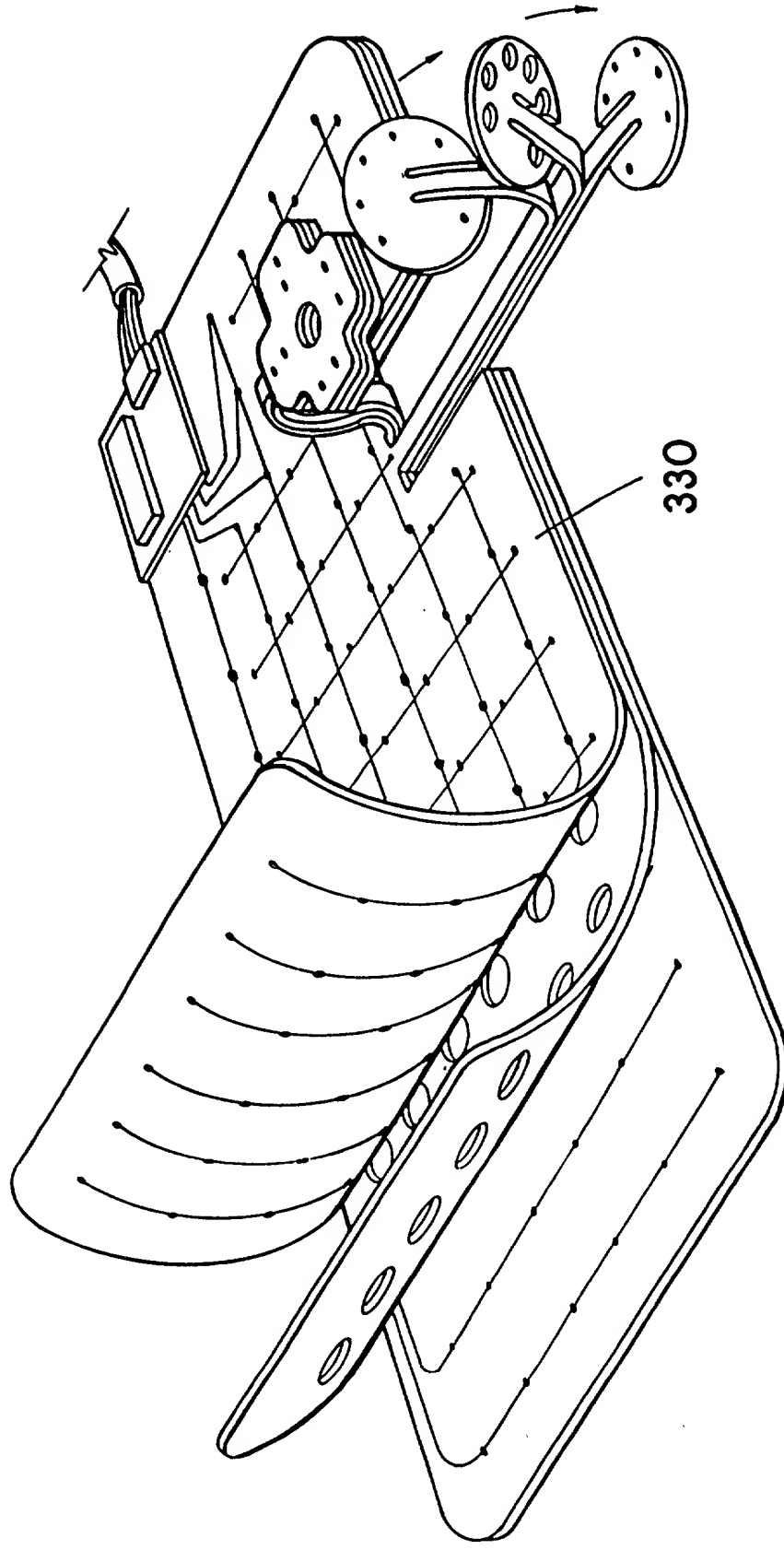


FIG. 29

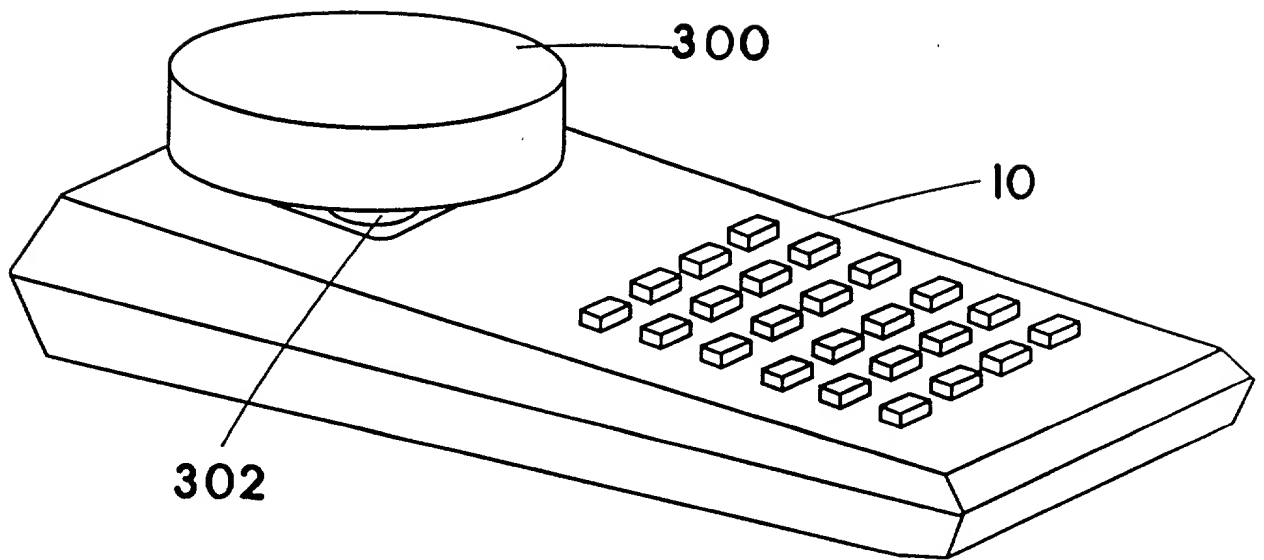


FIG. 30

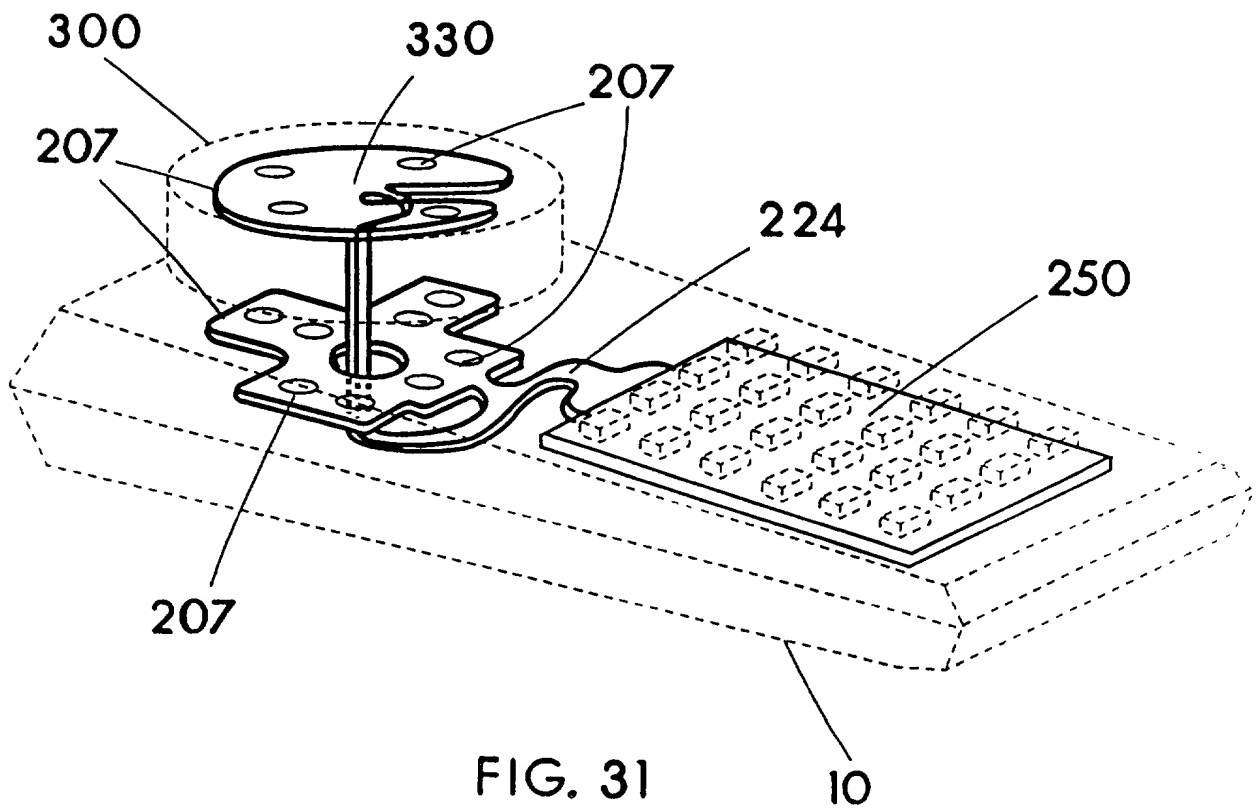


FIG. 31

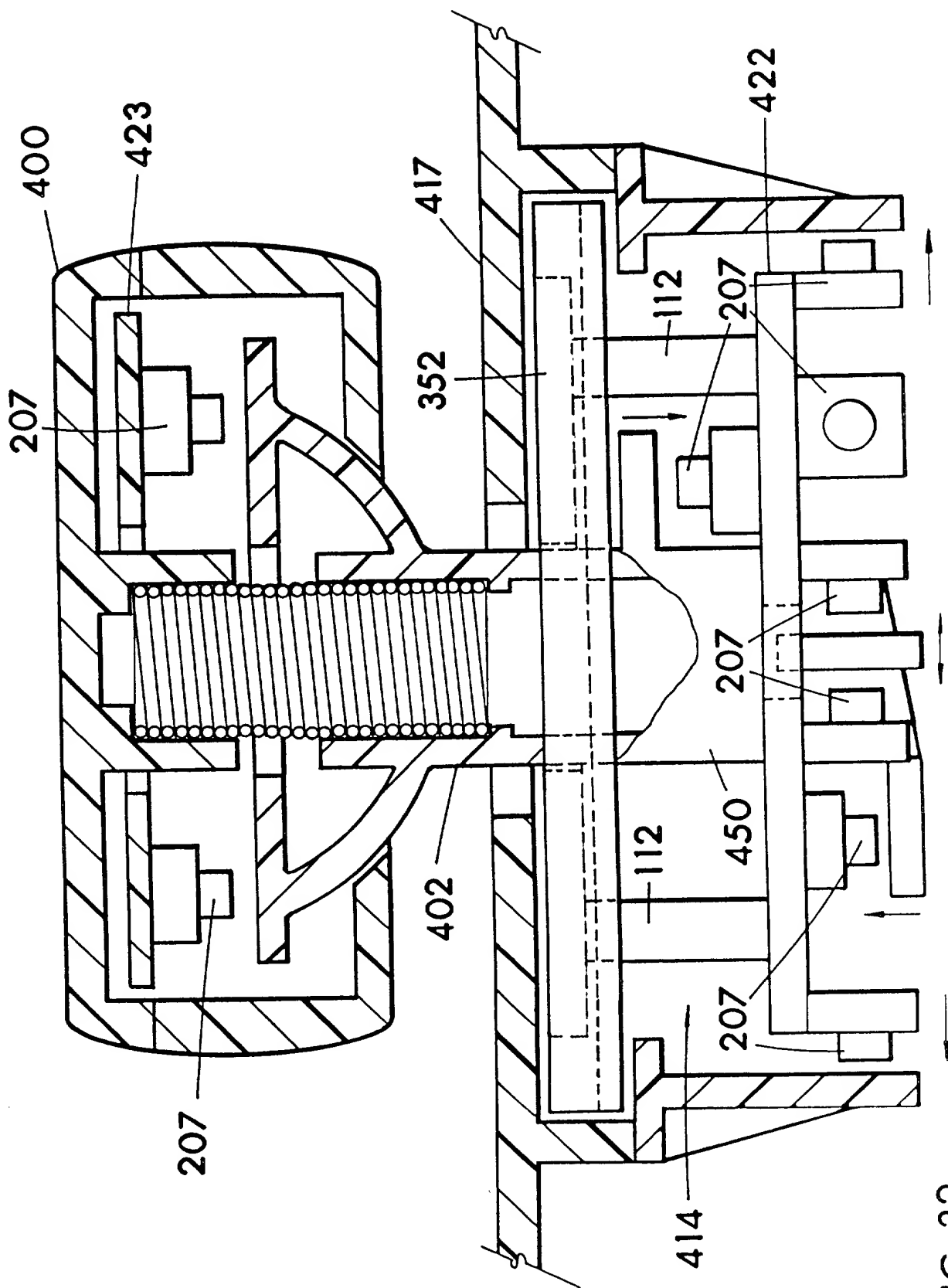


FIG. 32

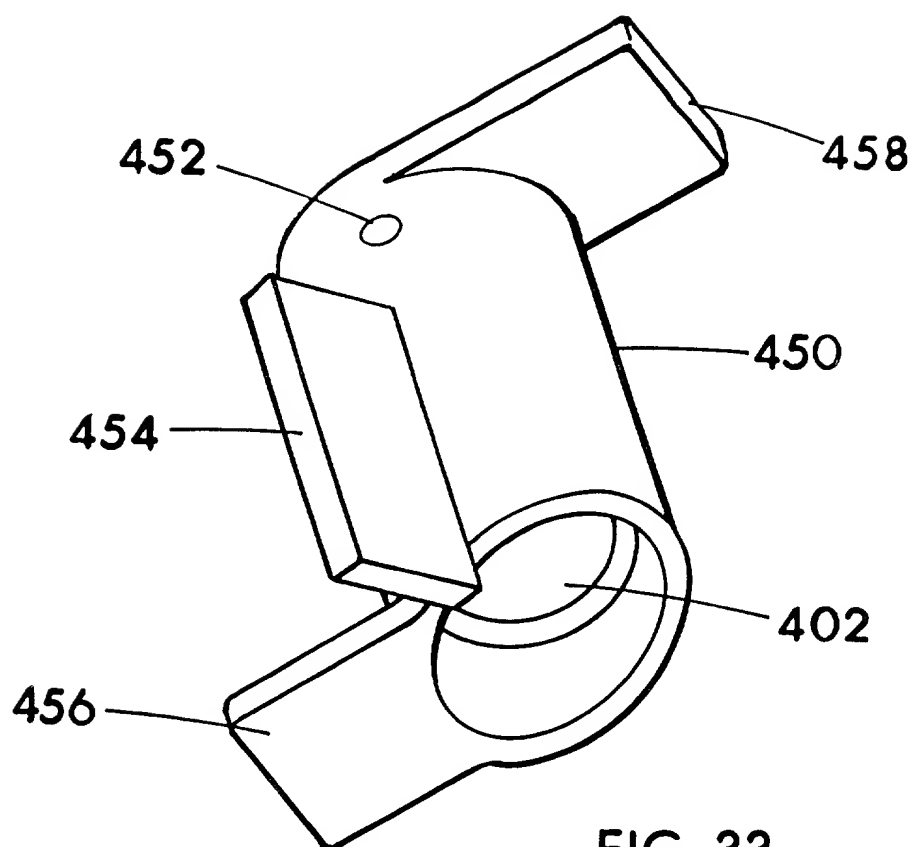


FIG. 33

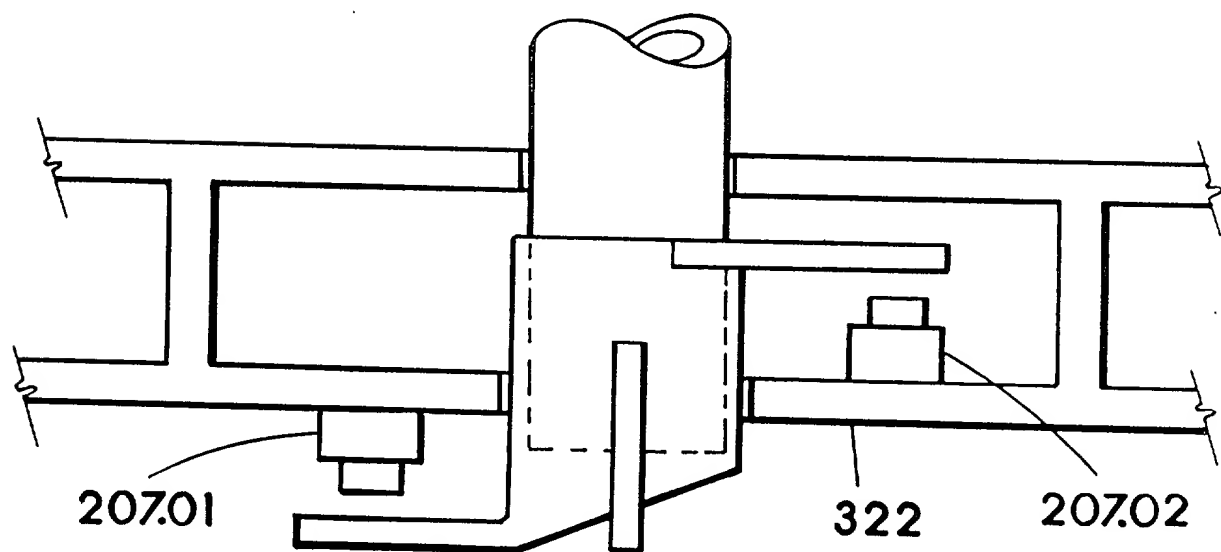
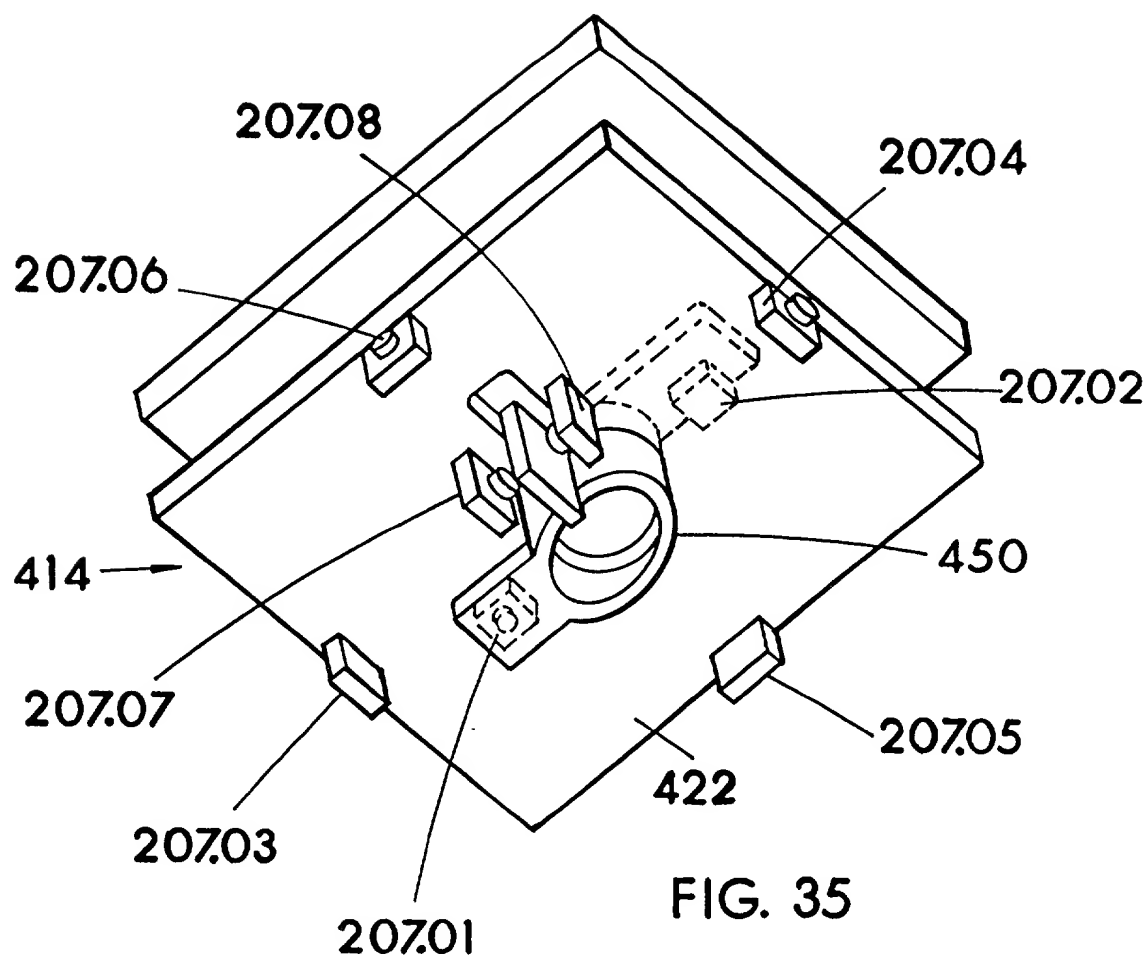


FIG. 34



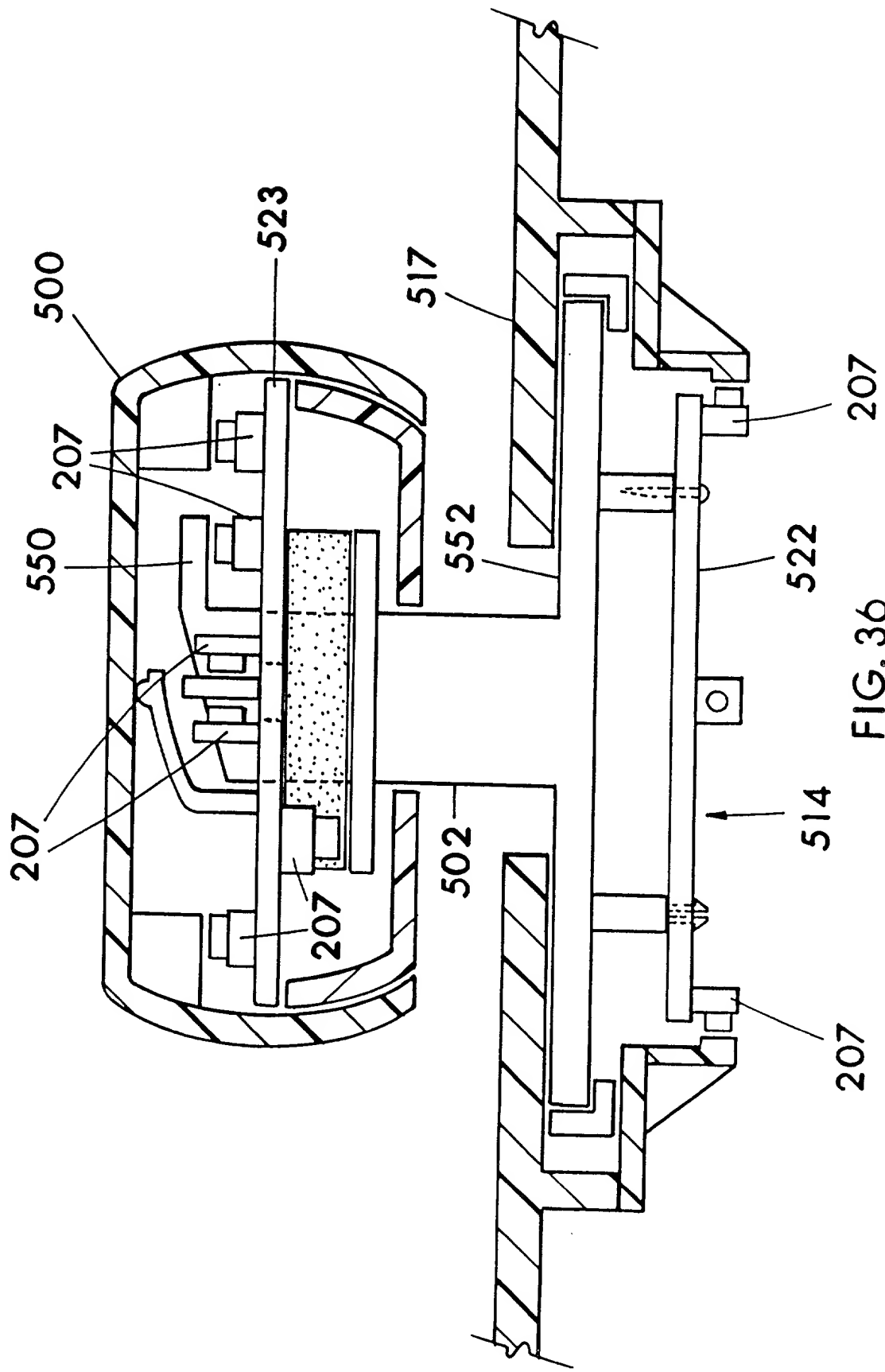


FIG. 37

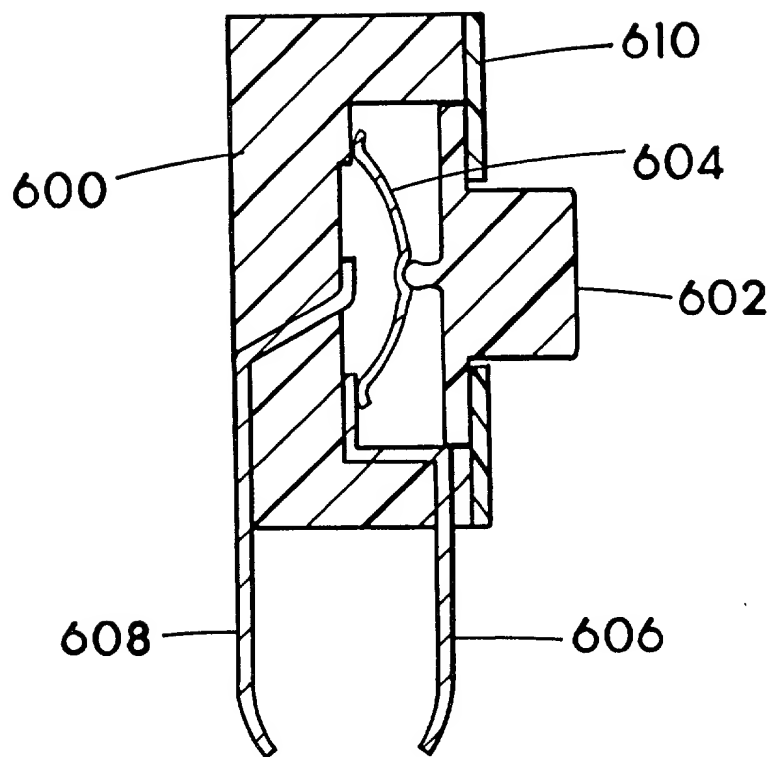


FIG. 37

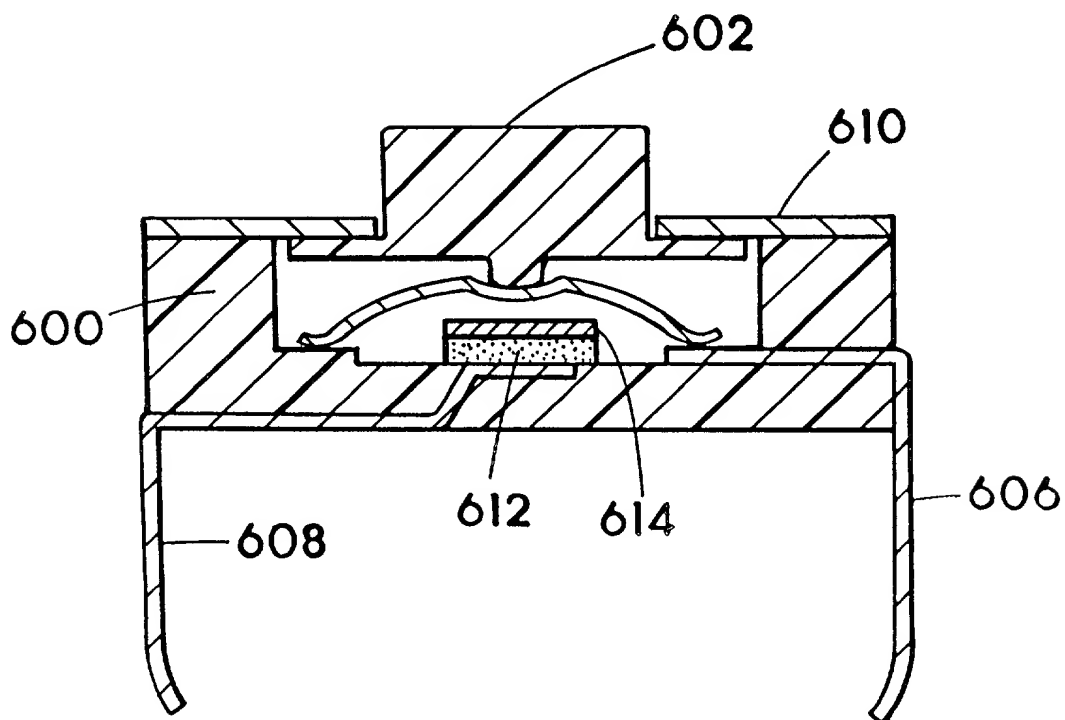
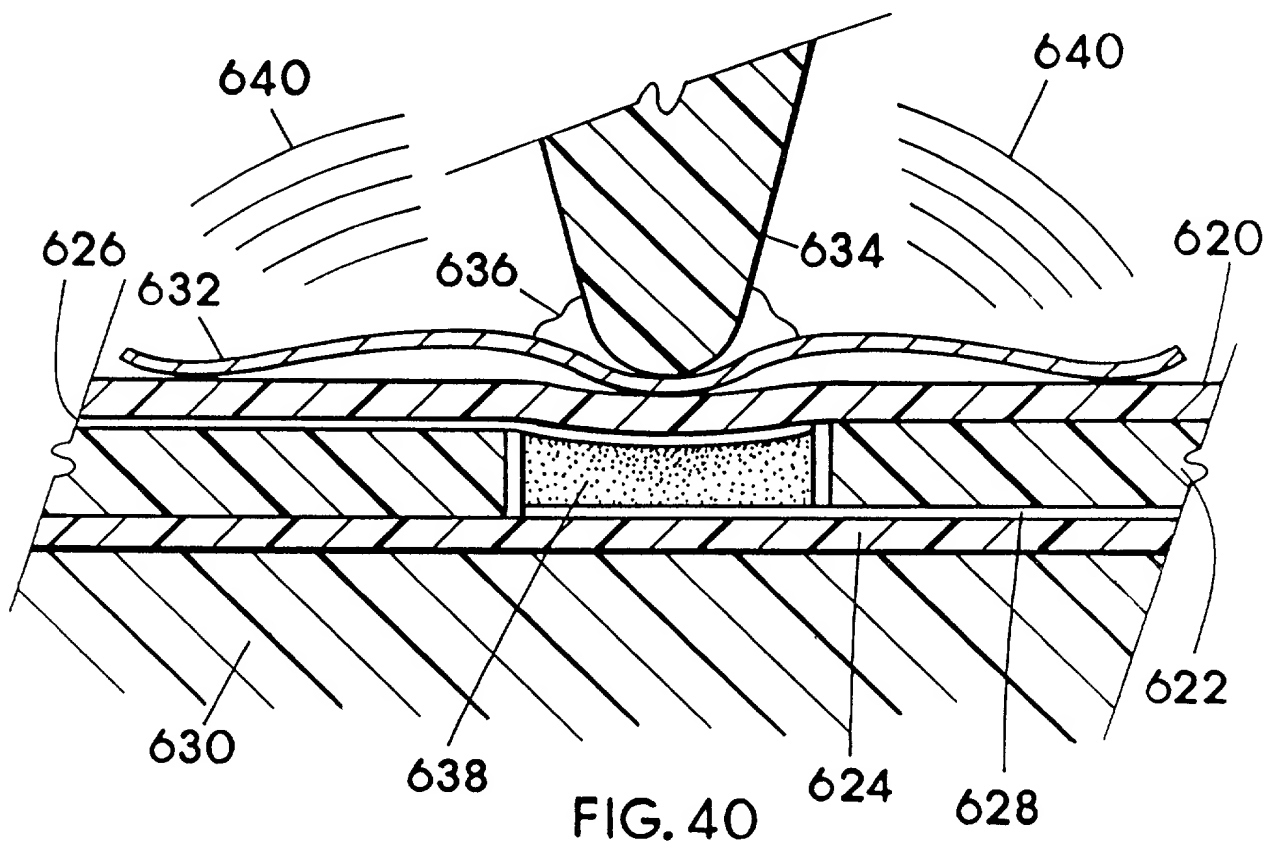
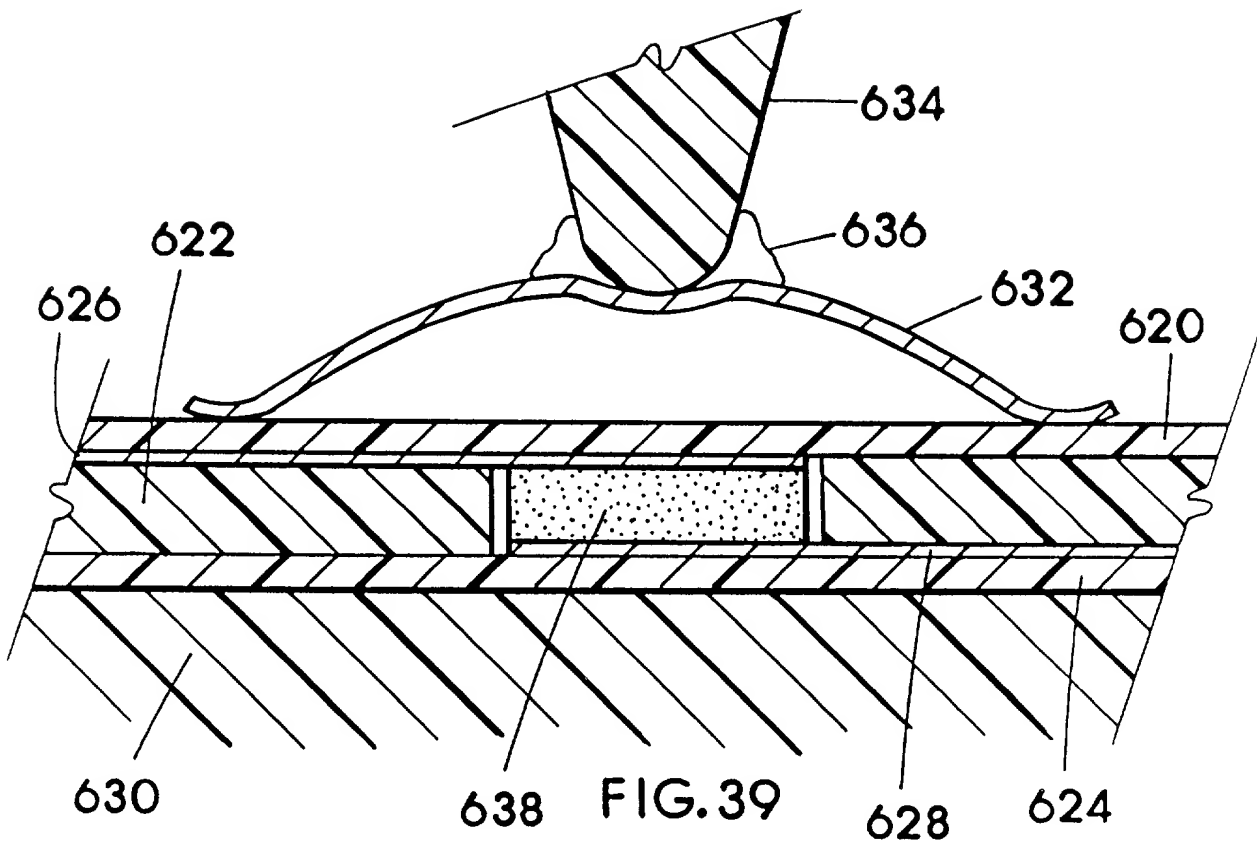


FIG. 38





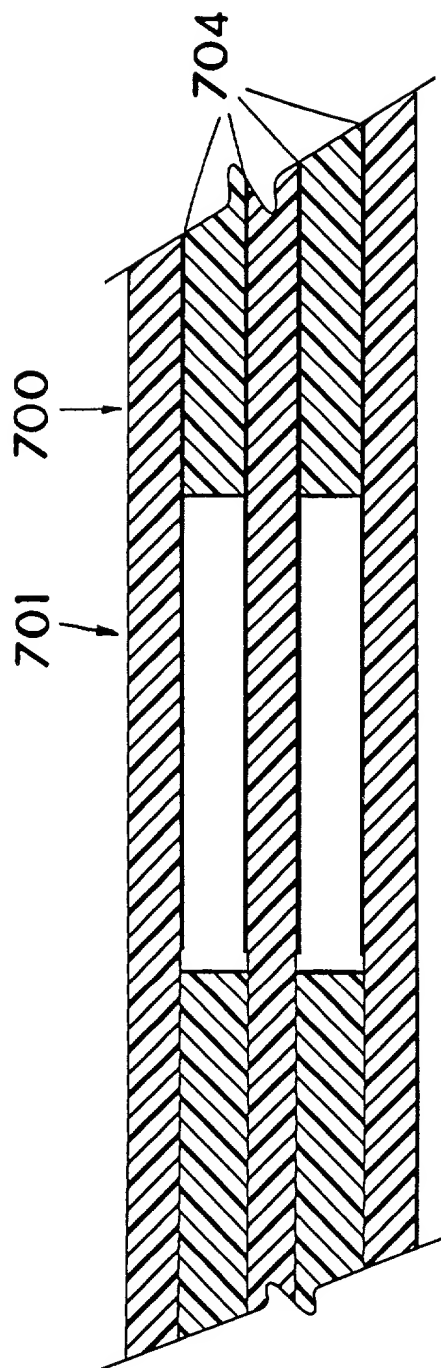


FIG. 41

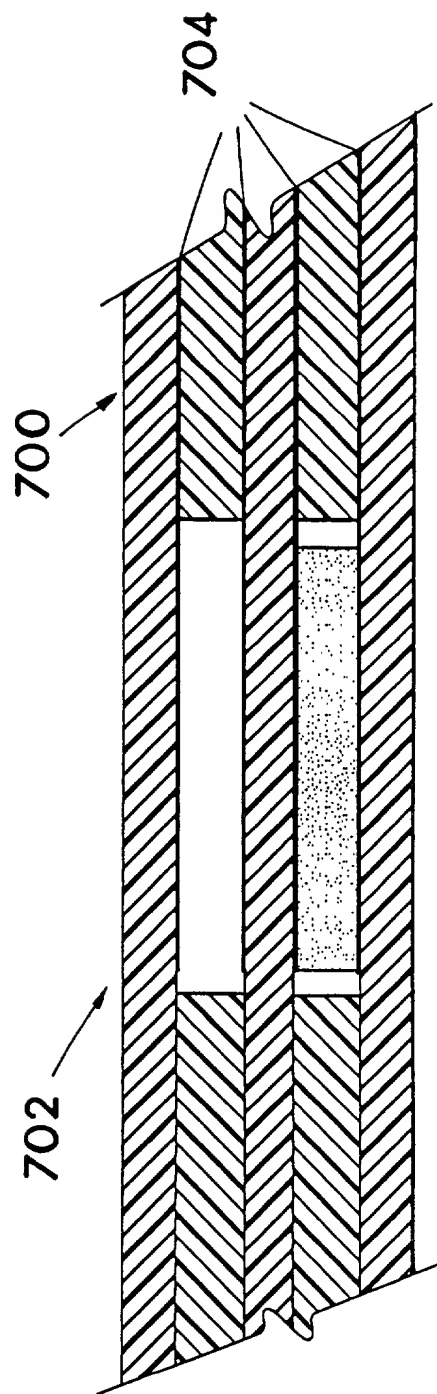


FIG. 42

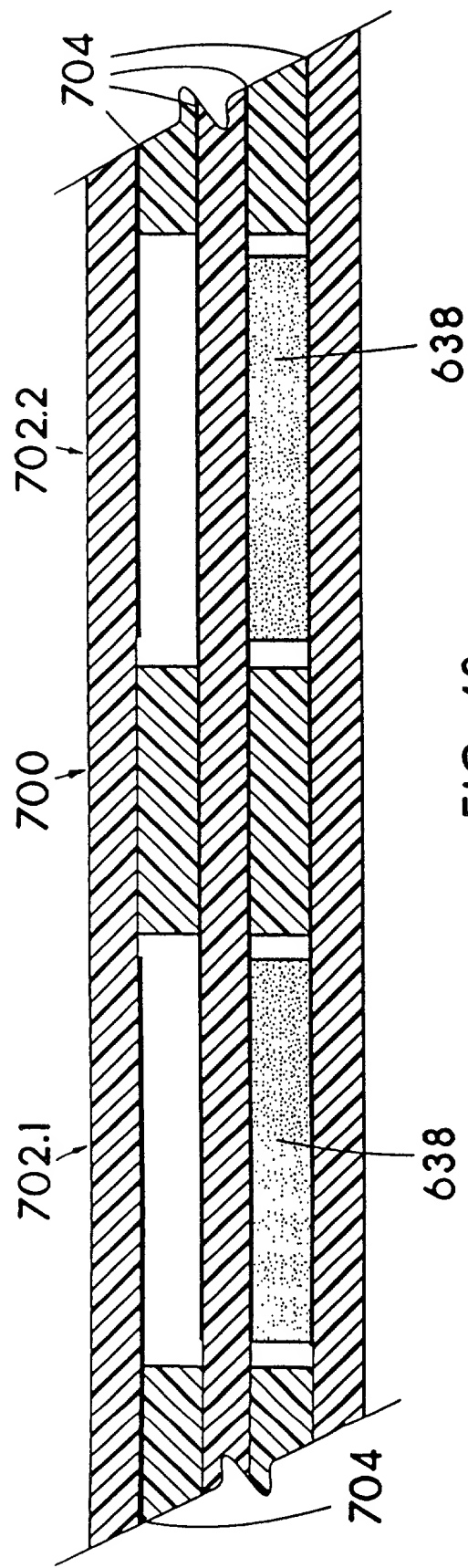


FIG. 43

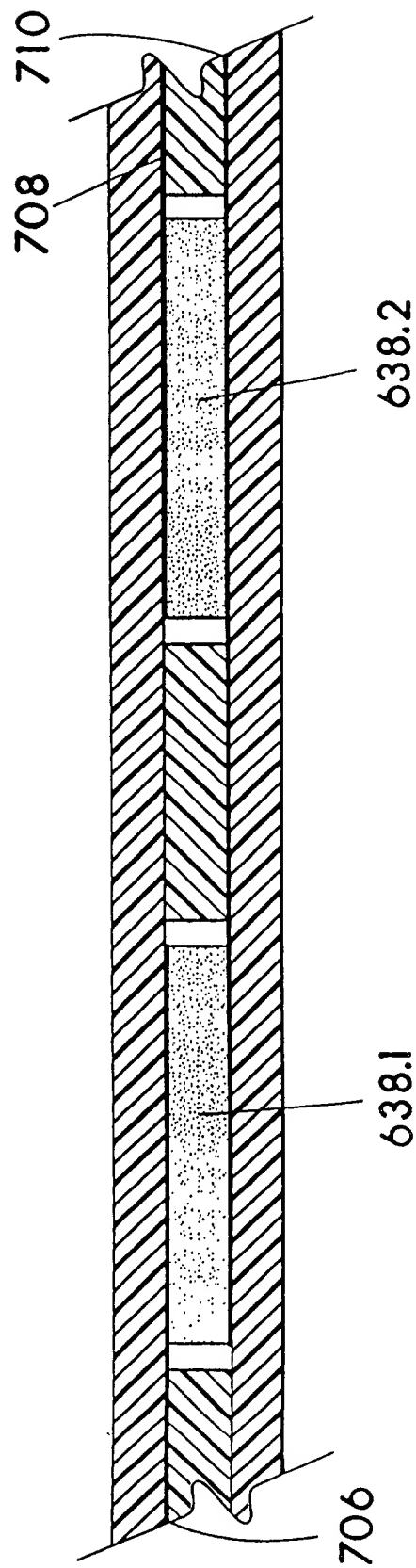
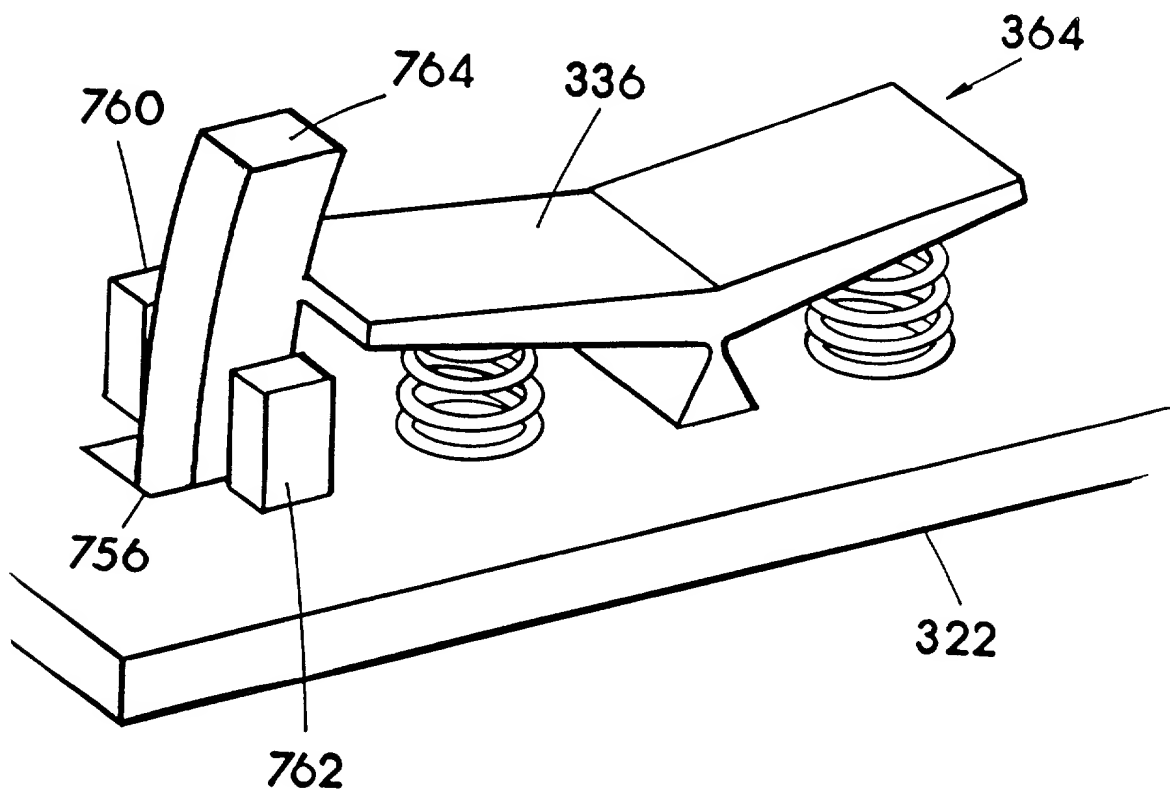
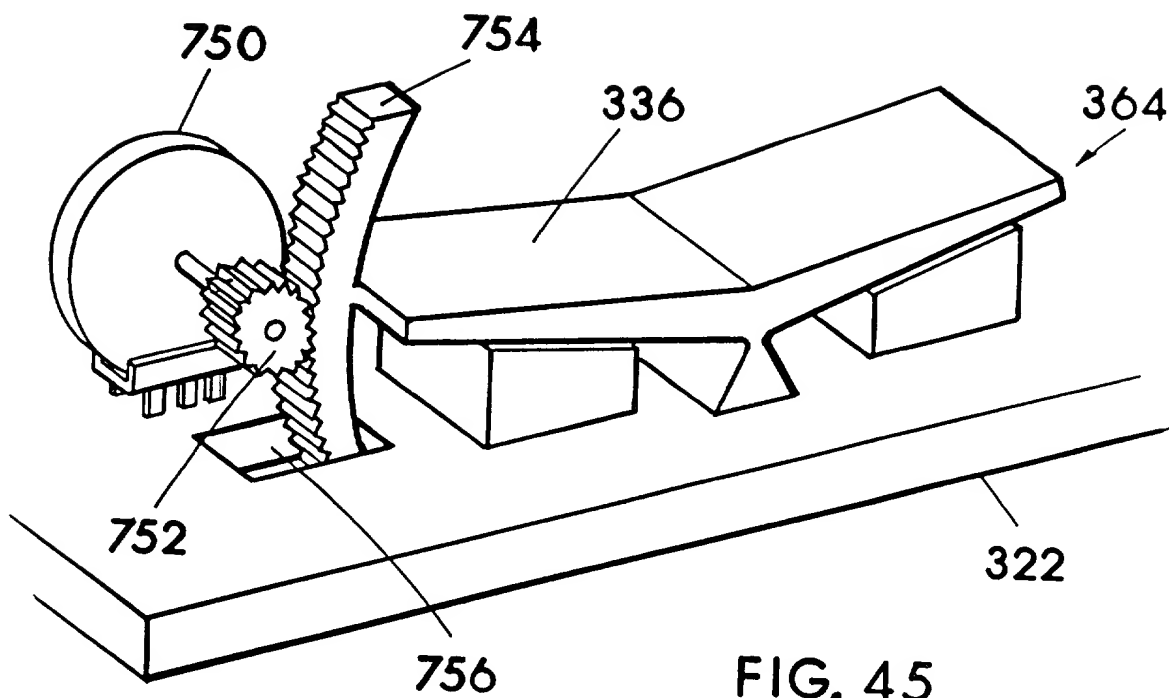


FIG. 44



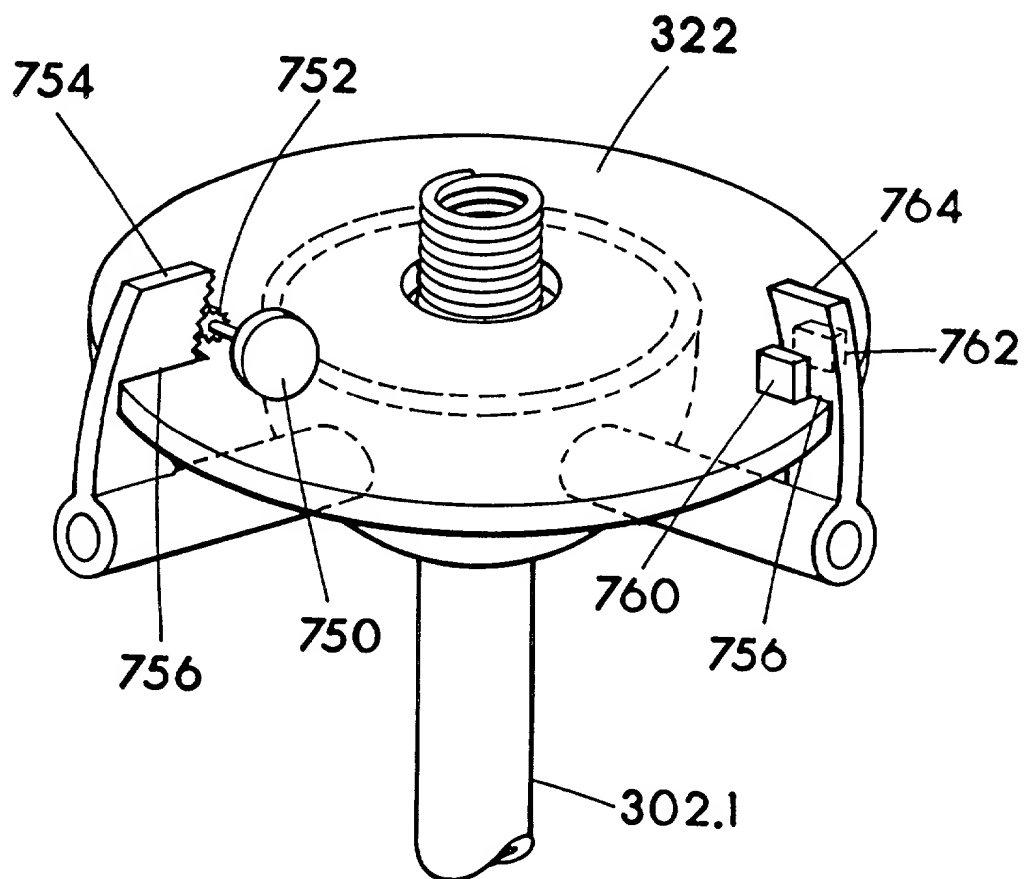


FIG. 47

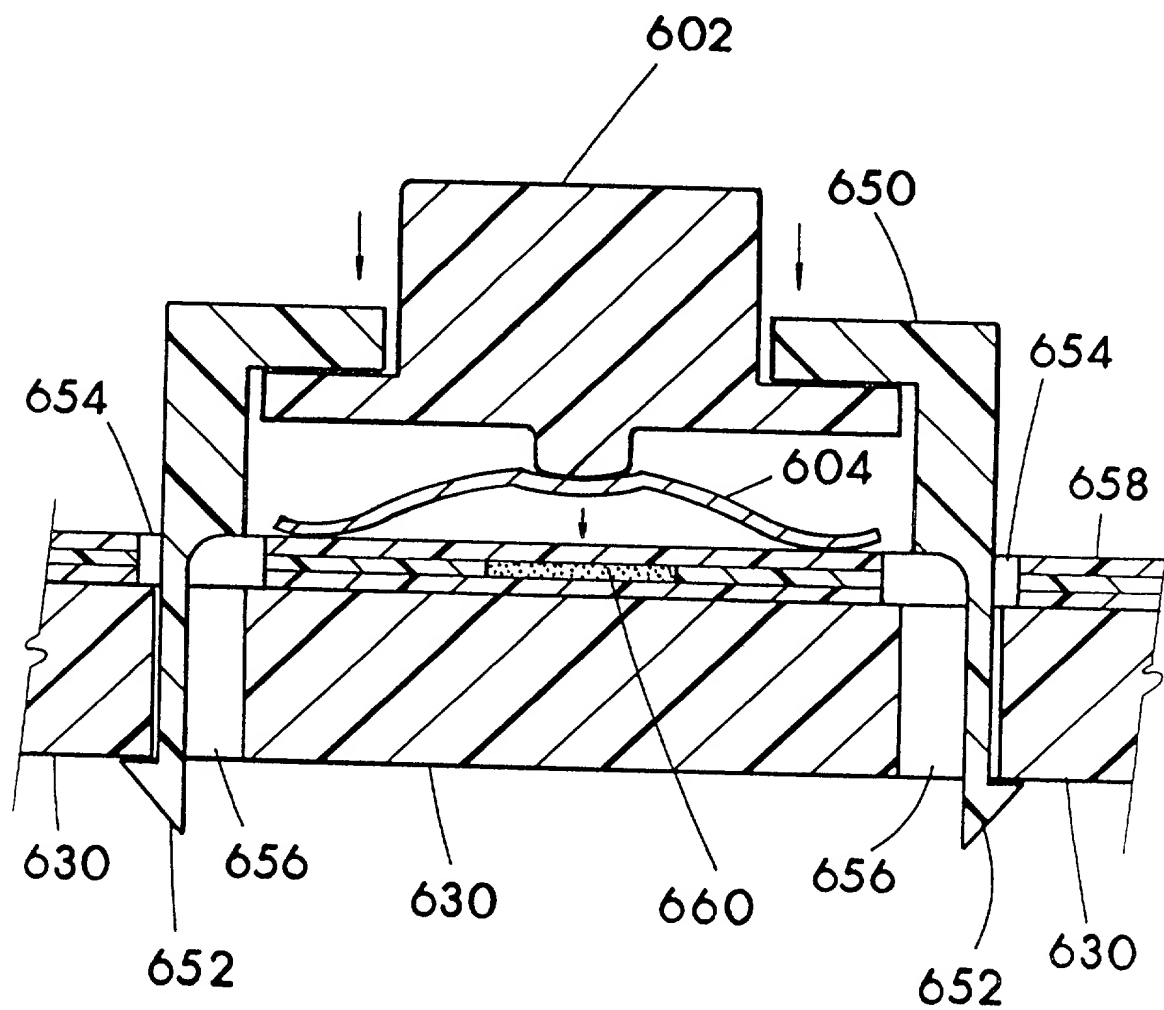
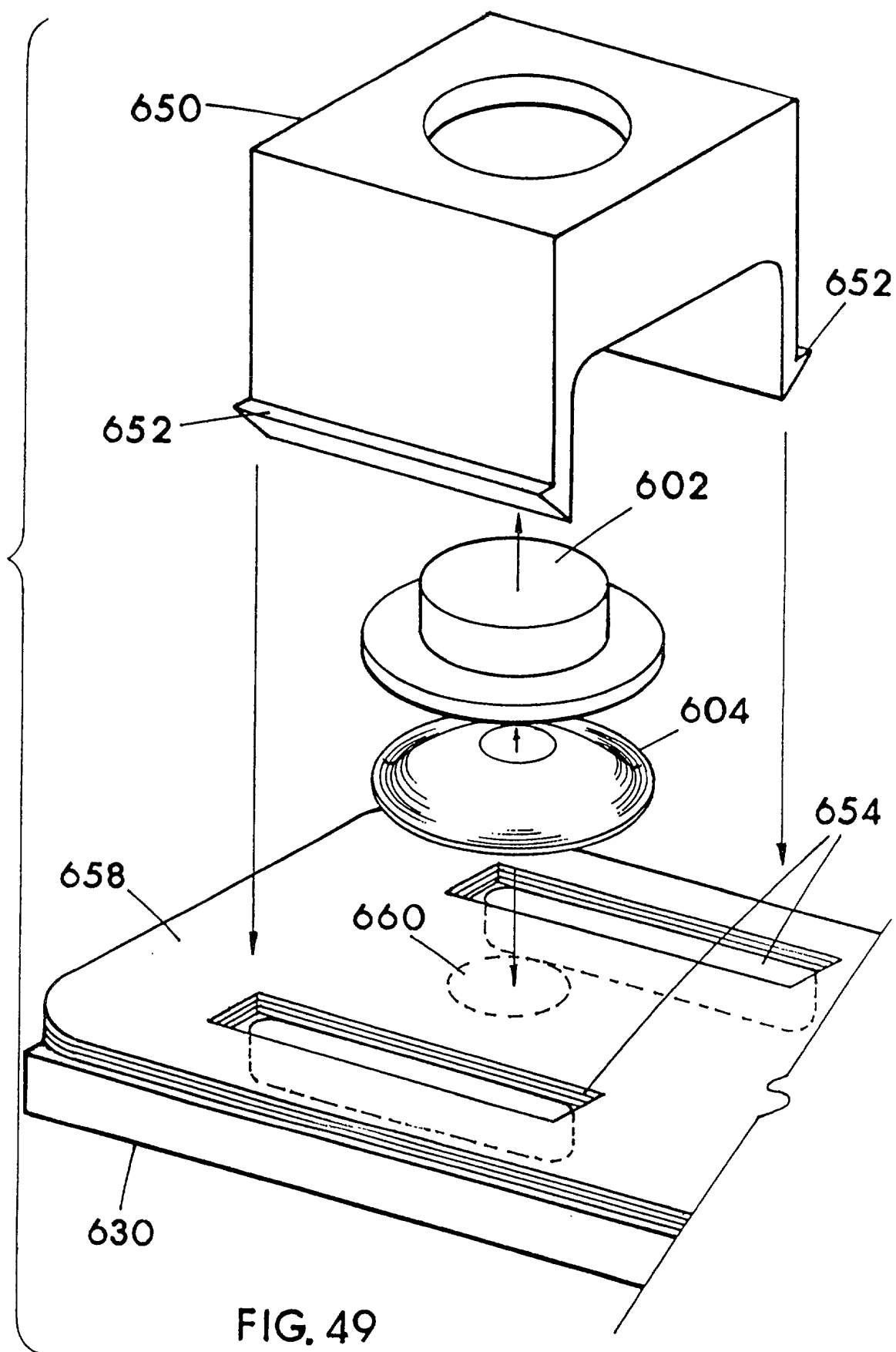


FIG.48



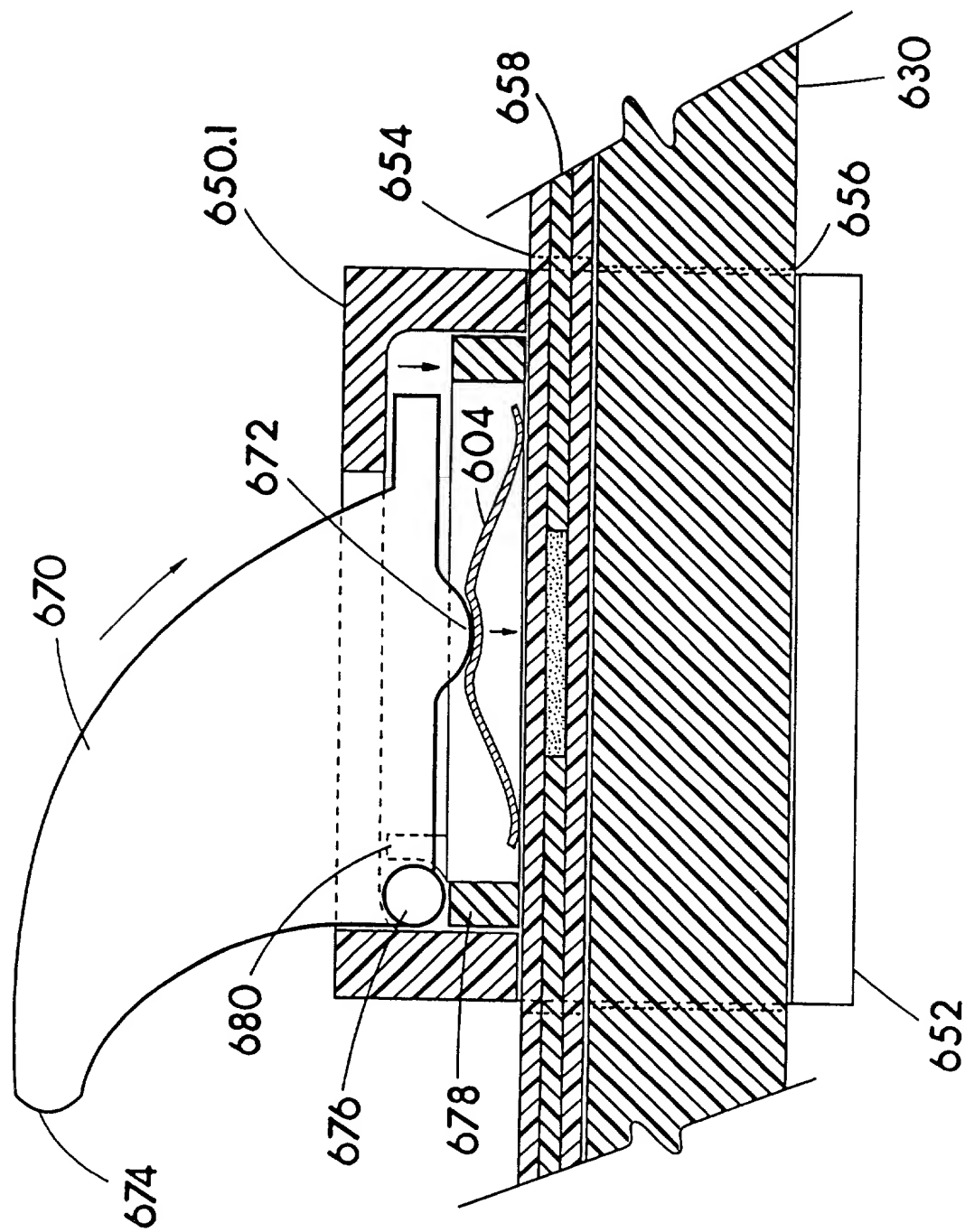


FIG. 50



